

# Calculs de bases dans des 2-catégories linéaires par réécriture.

---

**Benjamin Dupont**

**Institut Fourier, Université Grenoble-Alpes**

**Séminaire AGATA, Institut Montpellierain Alexander Grothendieck**

**9 Septembre 2021**

I. Introduction et motivations

II. Réécriture dans des 2-categories linéaires

III. Réécriture modulo isotopie dans des catégories pivotales

# I. Introduction et motivations

- ▶ **Question principale** : Etant donnée une présentation d'une algèbre (ou catégorie linéaire) par générateurs et relations, comment connaître sa taille ?
  - ▶ En général, il est possible de trouver un **ensemble générateur** de l'algèbre.
  - ▶ Prouver l'**indépendance linéaire** est difficile.

- ▶ **Question principale** : Etant donnée une présentation d'une algèbre (ou catégorie linéaire) par générateurs et relations, comment connaître sa taille ?
  - ▶ En général, il est possible de trouver un **ensemble générateur** de l'algèbre.
  - ▶ Prouver l'**indépendance linéaire** est difficile.
- ▶ **Objectif** : Développer des outils adaptés au calcul de bases linéaires d'algèbres diagrammatiques.
  - ▶ **Applications** : preuves de résultats de catégorification, en montrant que les HOM-sets des catégories candidates admettent des bases explicites.
  - ▶ **Exemple** : catégorification de groupes quantiques  $U_q(\mathfrak{g})$  avec la 2-catégorie KLR [Khovanov-Lauda '08], [Rouquier '08].
  - ▶ Plusieurs présentations diagrammatiques où le calcul de bases est difficile: catégorifications de Heisenberg, catégorie des bimodules de Soergel, etc.

- ▶ **Question principale** : Etant donnée une présentation d'une algèbre (ou catégorie linéaire) par générateurs et relations, comment connaître sa taille ?
  - ▶ En général, il est possible de trouver un **ensemble générateur** de l'algèbre.
  - ▶ Prouver l'**indépendance linéaire** est difficile.
- ▶ **Objectif** : Développer des outils adaptés au calcul de bases linéaires d'algèbres diagrammatiques.
  - ▶ **Applications** : preuves de résultats de catégorification, en montrant que les HOM-sets des catégories candidates admettent des bases explicites.
  - ▶ **Exemple** : catégorification de groupes quantiques  $U_q(\mathfrak{g})$  avec la 2-catégorie KLR [Khovanov-Lauda '08], [Rouquier '08].
  - ▶ Plusieurs présentations diagrammatiques où le calcul de bases est difficile: catégorifications de Heisenberg, catégorie des bimodules de Soergel, etc.
- ▶ **Réécriture algébrique** : modèle de calcul pour des structures algébriques présentées par générateurs et relations orientées.
- ▶ Diverses approches de réécriture dans des structures linéaires:
  - ▶ algèbres associatives [Bergman, Bökut],
  - ▶ algèbres commutatives [Gröbner, Buchberger],
  - ▶ algèbres de Lie [Shirshov],
  - ▶ algèbres non-commutatives [Mora],
  - ▶ opérades [Dotsenko-Koroshkin],
  - ▶ algèbres de dimension supérieure [Guiraud-Hoffbeck-Malbos], etc.

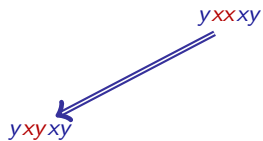
- ▶ **Exemple** : Algèbre associative  $A$  présentée par générateurs  $X = \{x, y\}$  et relations  $R = \{x^2 = xy\}$ .

- ▶ **Exemple** : Algèbre associative  $A$  présentée par générateurs  $X = \{x, y\}$  et relations  $R = \{x^2 \Rightarrow xy\}$ .

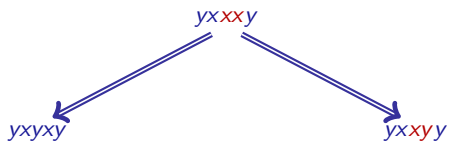
- **Exemple** : Algèbre associative  $A$  présentée par générateurs  $X = \{x, y\}$  et relations  $R = \{x^2 \Rightarrow xy\}$ .

$yxxxy$

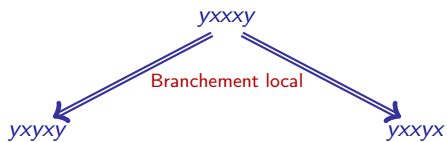
- **Exemple** : Algèbre associative  $A$  présentée par générateurs  $X = \{x, y\}$  et relations  $R = \{x^2 \Rightarrow xy\}$ .



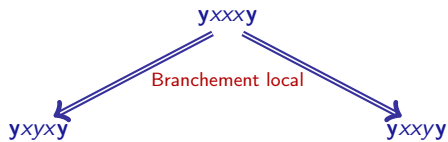
- **Exemple** : Algèbre associative  $A$  présentée par générateurs  $X = \{x, y\}$  et relations  $R = \{x^2 \Rightarrow xy\}$ .



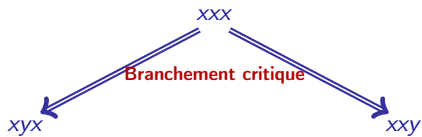
- **Exemple** : Algèbre associative  $A$  présentée par générateurs  $X = \{x, y\}$  et relations  $R = \{x^2 \Rightarrow xy\}$ .



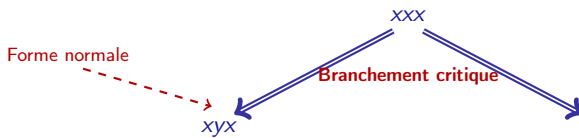
- **Exemple** : Algèbre associative  $A$  présentée par générateurs  $X = \{x, y\}$  et relations  $R = \{x^2 \Rightarrow xy\}$ .



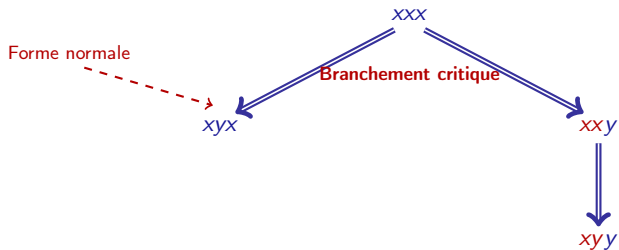
- **Exemple** : Algèbre associative  $A$  présentée par générateurs  $X = \{x, y\}$  et relations  $R = \{x^2 \Rightarrow xy\}$ .



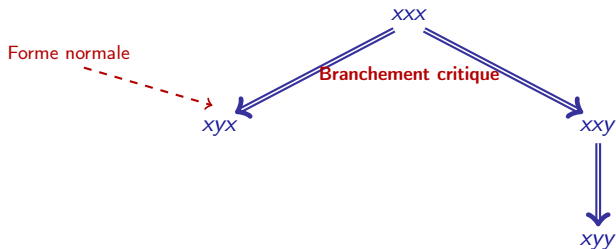
- **Exemple** : Algèbre associative  $A$  présentée par générateurs  $X = \{x, y\}$  et relations  $R = \{x^2 \Rightarrow xy\}$ .



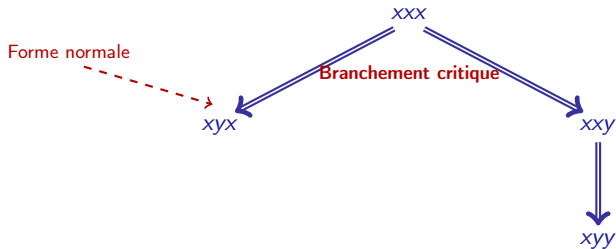
- **Exemple** : Algèbre associative  $A$  présentée par générateurs  $X = \{x, y\}$  et relations  $R = \{x^2 \Rightarrow xy\}$ .



- **Exemple** : Algèbre associative  $A$  présentée par générateurs  $X = \{x, y\}$  et relations  $R = \{x^2 \Rightarrow xy\}$ .

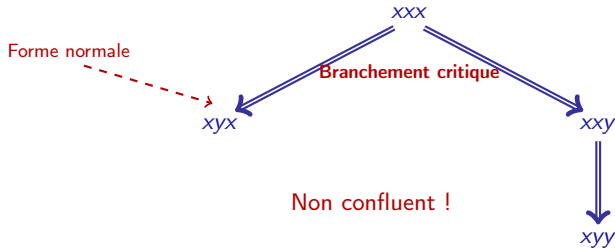


- **Exemple** : Algèbre associative  $A$  présentée par générateurs  $X = \{x, y\}$  et relations  $R = \{x^2 \Rightarrow xy\}$ .



- Le système de réécriture associé est **terminant**, i.e. n'admet pas de suite infinie de réécriture (ordre deglex sur  $x > y$ ).

- **Exemple** : Algèbre associative  $A$  présentée par générateurs  $X = \{x, y\}$  et relations  $R = \{x^2 \Rightarrow xy\}$ .



- Le système de réécriture associé est **terminant**, i.e. n'admet pas de suite infinie de réécriture (ordre deglex sur  $x > y$ ).
- Les monômes en forme normale **engendrent** l'algèbre. Ils ne sont pas linéairement indépendants: la propriété manquante est la **confluence**.

- ▶ **Résultat fondamental** : Si un système de réécriture linéaire termine, sa confluence est équivalente à la confluence de ses branchements critiques.

## Confluence et le lemme du diamant de Bergman

---

- ▶ **Résultat fondamental** : Si un système de réécriture linéaire termine, sa confluence est équivalente à la confluence de ses branchements critiques.
- ▶ **Théorème [Lemme du diamant de Bergman]** : Si les relations sont orientées relativement à un ordre monomial, les monômes irréductibles forment une base de l'algèbre ssi les branchements critiques sont confluent.

- ▶ **Résultat fondamental** : Si un système de réécriture linéaire termine, sa confluence est équivalente à la confluence de ses branchements critiques.
- ▶ **Théorème [Lemme du diamant de Bergman]** : Si les relations sont orientées relativement à un ordre monomial, les monômes irréductibles forment une base de l'algèbre ssi les branchements critiques sont confluents.
- ▶ **Théorème de Poincaré-Birkhoff-Witt** : Soit  $\mathcal{L}$  une algèbre de Lie  $X$  une base totalement ordonnée de  $\mathcal{L}$ . Alors l'algèbre enveloppante  $U(\mathcal{L})$  de  $\mathcal{L}$  admet une base formée de

$$\left\{ x_1^{\alpha_1} \dots x_k^{\alpha_k} \mid x_i < x_{i+1} \in X, \alpha_i \in \mathbb{N} \right\}$$

- ▶ **Résultat fondamental** : Si un système de réécriture linéaire termine, sa confluence est équivalente à la confluence de ses branchements critiques.
- ▶ **Théorème [Lemme du diamant de Bergman]** : Si les relations sont orientées relativement à un ordre monomial, les monômes irréductibles forment une base de l'algèbre ssi les branchements critiques sont confluents.
- ▶ **Théorème de Poincaré-Birkhoff-Witt** : Soit  $\mathcal{L}$  une algèbre de Lie  $X$  une base totalement ordonnée de  $\mathcal{L}$ . Alors l'algèbre enveloppante  $U(\mathcal{L})$  de  $\mathcal{L}$  admet une base formée de

$$\left\{ x_1^{\alpha_1} \dots x_k^{\alpha_k} \mid x_i < x_{i+1} \in X, \alpha_i \in \mathbb{N} \right\}$$

- ▶ présentation de  $U(\mathcal{L})$ :  $\{X \mid yx - xy - [y, x], \quad x \neq y \in X\}$
- ▶ choix d'orientation des relations :  $yx \Rightarrow xy + [y, x]$ , où  $x < y$
- ▶ le système associé termine, avec un order deglex sur  $x_1 < x_2 < \dots < x_k$ ,

- ▶ **Résultat fondamental** : Si un système de réécriture linéaire termine, sa confluence est équivalente à la confluence de ses branchements critiques.
- ▶ **Théorème [Lemme du diamant de Bergman]** : Si les relations sont orientées relativement à un ordre monomial, les monômes irréductibles forment une base de l'algèbre ssi les branchements critiques sont confluents.
- ▶ **Théorème de Poincaré-Birkhoff-Witt** : Soit  $\mathcal{L}$  une algèbre de Lie  $X$  une base totalement ordonnée de  $\mathcal{L}$ . Alors l'algèbre enveloppante  $U(\mathcal{L})$  de  $\mathcal{L}$  admet une base formée de

$$\left\{ x_1^{\alpha_1} \dots x_k^{\alpha_k} \mid x_i < x_{i+1} \in X, \alpha_i \in \mathbb{N} \right\}$$

- ▶ présentation de  $U(\mathcal{L})$ :  $\{X \mid yx - xy - [y, x], \quad x \neq y \in X\}$
- ▶ choix d'orientation des relations :  $yx \Rightarrow xy + [y, x], \quad \text{où } x < y$
- ▶ le système associé termine, avec un ordre deglex sur  $x_1 < x_2 < \dots < x_k$ ,
- ▶ les branchements critiques sont sur des mots de la forme  $zyx$  pour  $x < y < z$ , leur confluence est équivalente à l'identité de Jacobi :

$zyx$

- ▶ **Résultat fondamental** : Si un système de réécriture linéaire termine, sa confluence est équivalente à la confluence de ses branchements critiques.
- ▶ **Théorème [Lemme du diamant de Bergman]** : Si les relations sont orientées relativement à un ordre monomial, les monômes irréductibles forment une base de l'algèbre ssi les branchements critiques sont confluents.
- ▶ **Théorème de Poincaré-Birkhoff-Witt** : Soit  $\mathcal{L}$  une algèbre de Lie  $X$  une base totalement ordonnée de  $\mathcal{L}$ . Alors l'algèbre enveloppante  $U(\mathcal{L})$  de  $\mathcal{L}$  admet une base formée de

$$\left\{ x_1^{\alpha_1} \dots x_k^{\alpha_k} \mid x_i < x_{i+1} \in X, \alpha_i \in \mathbb{N} \right\}$$

- ▶ présentation de  $U(\mathcal{L})$ :  $\{X \mid yx - xy - [y, x], \quad x \neq y \in X\}$
- ▶ choix d'orientation des relations :  $yx \Rightarrow xy + [y, x], \quad \text{où } x < y$
- ▶ le système associé termine, avec un ordre deglex sur  $x_1 < x_2 < \dots < x_k$ ,
- ▶ les branchements critiques sont sur des mots de la forme  $zyx$  pour  $x < y < z$ , leur confluence est équivalente à l'identité de Jacobi :

$$\begin{array}{c} \nearrow \\ \nearrow \\ zyx \end{array} \rightarrow yzx - [z, y]x$$

- ▶ **Résultat fondamental** : Si un système de réécriture linéaire termine, sa confluence est équivalente à la confluence de ses branchements critiques.
- ▶ **Théorème [Lemme du diamant de Bergman]** : Si les relations sont orientées relativement à un ordre monomial, les monômes irréductibles forment une base de l'algèbre ssi les branchements critiques sont confluents.
- ▶ **Théorème de Poincaré-Birkhoff-Witt** : Soit  $\mathcal{L}$  une algèbre de Lie  $X$  une base totalement ordonnée de  $\mathcal{L}$ . Alors l'algèbre enveloppante  $U(\mathcal{L})$  de  $\mathcal{L}$  admet une base formée de

$$\left\{ x_1^{\alpha_1} \dots x_k^{\alpha_k} \mid x_i < x_{i+1} \in X, \alpha_i \in \mathbb{N} \right\}$$

- ▶ présentation de  $U(\mathcal{L})$ :  $\{X \mid yx - xy - [y, x], \quad x \neq y \in X\}$
- ▶ choix d'orientation des relations :  $yx \Rightarrow xy + [y, x]$ , où  $x < y$
- ▶ le système associé termine, avec un ordre deglex sur  $x_1 < x_2 < \dots < x_k$ ,
- ▶ les branchements critiques sont sur des mots de la forme  $zyx$  pour  $x < y < z$ , leur confluence est équivalente à l'identité de Jacobi :

$$\begin{array}{c} \nearrow \\ \nearrow \\ zyx \end{array} yzx - [z, y]x \Rightarrow yxz - y[z, x] - [z, y]x$$

- ▶ **Résultat fondamental** : Si un système de réécriture linéaire termine, sa confluence est équivalente à la confluence de ses branchements critiques.
- ▶ **Théorème [Lemme du diamant de Bergman]** : Si les relations sont orientées relativement à un ordre monomial, les monômes irréductibles forment une base de l'algèbre ssi les branchements critiques sont confluents.
- ▶ **Théorème de Poincaré-Birkhoff-Witt** : Soit  $\mathcal{L}$  une algèbre de Lie  $X$  une base totalement ordonnée de  $\mathcal{L}$ . Alors l'algèbre enveloppante  $U(\mathcal{L})$  de  $\mathcal{L}$  admet une base formée de

$$\left\{ x_1^{\alpha_1} \dots x_k^{\alpha_k} \mid x_i < x_{i+1} \in X, \alpha_i \in \mathbb{N} \right\}$$

- ▶ présentation de  $U(\mathcal{L})$ :  $\{X \mid yx - xy - [y, x], \quad x \neq y \in X\}$
- ▶ choix d'orientation des relations :  $yx \Rightarrow xy + [y, x]$ , où  $x < y$
- ▶ le système associé termine, avec un ordre deglex sur  $x_1 < x_2 < \dots < x_k$ ,
- ▶ les branchements critiques sont sur des mots de la forme  $zyx$  pour  $x < y < z$ , leur confluence est équivalente à l'identité de Jacobi :

$$\begin{array}{l} \nearrow \\ \nearrow \\ zyx \end{array} \quad yzx - [z, y]x \Rightarrow yxz - y[z, x] - [z, y]x \Rightarrow xyz - [y, x]z - y[z, x] - [z, y]x$$

# Confluence et le lemme du diamant de Bergman

- ▶ **Résultat fondamental** : Si un système de réécriture linéaire termine, sa confluence est équivalente à la confluence de ses branchements critiques.
- ▶ **Théorème [Lemme du diamant de Bergman]** : Si les relations sont orientées relativement à un ordre monomial, les monômes irréductibles forment une base de l'algèbre ssi les branchements critiques sont confluents.
- ▶ **Théorème de Poincaré-Birkhoff-Witt** : Soit  $\mathcal{L}$  une algèbre de Lie  $X$  une base totalement ordonnée de  $\mathcal{L}$ . Alors l'algèbre enveloppante  $U(\mathcal{L})$  de  $\mathcal{L}$  admet une base formée de

$$\left\{ x_1^{\alpha_1} \dots x_k^{\alpha_k} \mid x_i < x_{i+1} \in X, \alpha_i \in \mathbb{N} \right\}$$

- ▶ présentation de  $U(\mathcal{L})$ :  $\{X \mid yx - xy - [y, x], \quad x \neq y \in X\}$
- ▶ choix d'orientation des relations :  $yx \Rightarrow xy + [y, x]$ , où  $x < y$
- ▶ le système associé termine, avec un ordre deglex sur  $x_1 < x_2 < \dots < x_k$ ,
- ▶ les branchements critiques sont sur des mots de la forme  $zyx$  pour  $x < y < z$ , leur confluence est équivalente à l'identité de Jacobi :

$$\begin{array}{l} \begin{array}{l} \xrightarrow{\text{blue}} yzx - [z, y]x \\ \xrightarrow{\text{blue}} zxy - z[y, x] \end{array} \\ \xrightarrow{\text{red}} zyx \\ \xrightarrow{\text{blue}} yxz - y[z, x] - [z, y]x \\ \xrightarrow{\text{blue}} xyz - [y, x]z - y[z, x] - [z, y]x \end{array}$$

- ▶ **Résultat fondamental** : Si un système de réécriture linéaire termine, sa confluence est équivalente à la confluence de ses branchements critiques.
- ▶ **Théorème [Lemme du diamant de Bergman]** : Si les relations sont orientées relativement à un ordre monomial, les monômes irréductibles forment une base de l'algèbre ssi les branchements critiques sont confluents.
- ▶ **Théorème de Poincaré-Birkhoff-Witt** : Soit  $\mathcal{L}$  une algèbre de Lie  $X$  une base totalement ordonnée de  $\mathcal{L}$ . Alors l'algèbre enveloppante  $U(\mathcal{L})$  de  $\mathcal{L}$  admet une base formée de

$$\left\{ x_1^{\alpha_1} \dots x_k^{\alpha_k} \mid x_i < x_{i+1} \in X, \alpha_i \in \mathbb{N} \right\}$$

- ▶ présentation de  $U(\mathcal{L})$ :  $\{X \mid yx - xy - [y, x], \quad x \neq y \in X\}$
- ▶ choix d'orientation des relations :  $yx \Rightarrow xy + [y, x]$ , où  $x < y$
- ▶ le système associé termine, avec un ordre deglex sur  $x_1 < x_2 < \dots < x_k$ ,
- ▶ les branchements critiques sont sur des mots de la forme  $zyx$  pour  $x < y < z$ , leur confluence est équivalente à l'identité de Jacobi :

$$\begin{array}{l} \swarrow \\ \text{zyx} \\ \searrow \end{array} \begin{array}{l} yzx - [z, y]x \Rightarrow yxz - y[z, x] - [z, y]x \Rightarrow xyz - [y, x]z - y[z, x] - [z, y]x \\ \\ zxy - z[y, x] \Rightarrow xzy - [z, x]y - z[y, x] \end{array}$$

- ▶ **Résultat fondamental** : Si un système de réécriture linéaire termine, sa confluence est équivalente à la confluence de ses branchements critiques.
- ▶ **Théorème [Lemme du diamant de Bergman]** : Si les relations sont orientées relativement à un ordre monomial, les monômes irréductibles forment une base de l'algèbre ssi les branchements critiques sont confluents.
- ▶ **Théorème de Poincaré-Birkhoff-Witt** : Soit  $\mathcal{L}$  une algèbre de Lie  $X$  une base totalement ordonnée de  $\mathcal{L}$ . Alors l'algèbre enveloppante  $U(\mathcal{L})$  de  $\mathcal{L}$  admet une base formée de

$$\left\{ x_1^{\alpha_1} \dots x_k^{\alpha_k} \mid x_i < x_{i+1} \in X, \alpha_i \in \mathbb{N} \right\}$$

- ▶ présentation de  $U(\mathcal{L})$ :  $\{X \mid yx - xy - [y, x], \quad x \neq y \in X\}$
- ▶ choix d'orientation des relations :  $yx \Rightarrow xy + [y, x]$ , où  $x < y$
- ▶ le système associé termine, avec un order deglex sur  $x_1 < x_2 < \dots < x_k$ ,
- ▶ les branchements critiques sont sur des mots de la forme  $zyx$  pour  $x < y < z$ , leur confluence est équivalente à l'identité de Jacobi :

$$\begin{array}{l}
 \swarrow \\
 \searrow \\
 \begin{array}{l}
 yzx - [z, y]x \Rightarrow yxz - y[z, x] - [z, y]x \Rightarrow xyz - [y, x]z - y[z, x] - [z, y]x \\
 \\
 zyx \\
 \\
 zxy - z[y, x] \Rightarrow xzy - [z, x]y - z[y, x] \Rightarrow xyz - x[z, y], [z, x]y - z[y, x]
 \end{array}
 \end{array}$$

# Confluence et le lemme du diamant de Bergman

- ▶ **Résultat fondamental** : Si un système de réécriture linéaire termine, sa confluence est équivalente à la confluence de ses branchements critiques.
- ▶ **Théorème [Lemme du diamant de Bergman]** : Si les relations sont orientées relativement à un ordre monomial, les monômes irréductibles forment une base de l'algèbre ssi les branchements critiques sont confluents.
- ▶ **Théorème de Poincaré-Birkhoff-Witt** : Soit  $\mathcal{L}$  une algèbre de Lie  $X$  une base totalement ordonnée de  $\mathcal{L}$ . Alors l'algèbre enveloppante  $U(\mathcal{L})$  de  $\mathcal{L}$  admet une base formée de

$$\left\{ x_1^{\alpha_1} \dots x_k^{\alpha_k} \mid x_i < x_{i+1} \in X, \alpha_i \in \mathbb{N} \right\}$$

- ▶ présentation de  $U(\mathcal{L})$ :  $\{X \mid yx - xy - [y, x], \quad x \neq y \in X\}$
- ▶ choix d'orientation des relations :  $yx \Rightarrow xy + [y, x]$ , où  $x < y$
- ▶ le système associé termine, avec un order deglex sur  $x_1 < x_2 < \dots < x_k$ ,
- ▶ les branchements critiques sont sur des mots de la forme  $zyx$  pour  $x < y < z$ , leur confluence est équivalente à l'identité de Jacobi :

$$\begin{array}{l} \swarrow \\ \text{zyx} \\ \searrow \end{array} \begin{array}{l} yzx - [z, y]x \Rightarrow yxz - y[z, x] - [z, y]x \Rightarrow xyz - [y, x]z - y[z, x] - [z, y]x \\ \\ zxy - z[y, x] \Rightarrow xzy - [z, x]y - z[y, x] \Rightarrow xyz - x[z, y], [z, x]y - z[y, x] \end{array}$$

- ▶ une base de  $U(\mathcal{L})$  est composée des monômes en forme normale :  $x_1^{\alpha_1} \dots x_k^{\alpha_k}$  tels que  $x_i < x_{i+1}$ .

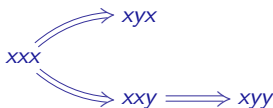
- ▶ Les **polygraphes** sont des présentations par générateurs et relations orientées de catégories (globulaires, strictes) de dimension supérieure [Burroni '93], [Street '76].

- ▶ Les **polygraphes** sont des présentations par générateurs et relations orientées de catégories (globulaires, strictes) de dimension supérieure [Burroni '93], [Street '76].
- ▶ [Guiraud-Hoffbeck-Malbos '19] : **polygraphes linéaires** pour présenter des algèbres de dimension supérieure.
  - ▶ La compatibilité des règles relativement à un ordre monomial est remplacée par une hypothèse de terminaison.

- ▶ Les **polygraphes** sont des présentations par générateurs et relations orientées de catégories (globulaires, strictes) de dimension supérieure [Burroni '93], [Street '76].
- ▶ [Guiraud-Hoffbeck-Malbos '19] : **polygraphes linéaires** pour présenter des algèbres de dimension supérieure.
  - ▶ La compatibilité des règles relativement à un ordre monomial est remplacée par une hypothèse de terminaison.
- ▶ **Théorème [Guiraud-Hoffbeck-Malbos '19]** : Soit  $P$  un 2-polygraphe linéaire terminant et monomial à gauche. Les assertions suivantes sont équivalentes:
  - $P$  est confluent.
  - L'espace vectoriel  $P_1^\ell := \mathbb{K}[P_1^*]$  admet la décomposition en somme directe
$$P_1^\ell = P_1^{\text{nf}} \oplus I(P)$$
où  $P_1^{\text{nf}}$  est l'ensemble des monômes en forme normale pour  $P_1$ , et  $I(P)$  est l'idéal bilatère engendré par  $\{s_1(\alpha) - t_1(\alpha) \mid \alpha \in P_2\}$ .

- ▶ Les **polygraphes** sont des présentations par générateurs et relations orientées de catégories (globulaires, strictes) de dimension supérieure [Burroni '93], [Street '76].
- ▶ [Guiraud-Hoffbeck-Malbos '19] : **polygraphes linéaires** pour présenter des algèbres de dimension supérieure.
  - ▶ La compatibilité des règles relativement à un ordre monomial est remplacée par une hypothèse de terminaison.
- ▶ **Théorème [Guiraud-Hoffbeck-Malbos '19]** : Soit  $P$  un 2-polygraphe linéaire terminant et monomial à gauche. Les assertions suivantes sont équivalentes:
  - $P$  est confluent.
  - L'espace vectoriel  $P_1^\ell := \mathbb{K}[P_1^*]$  admet la décomposition en somme directe
$$P_1^\ell = P_1^{\text{nf}} \oplus I(P)$$
où  $P_1^{\text{nf}}$  est l'ensemble des monômes en forme normale pour  $P_1$ , et  $I(P)$  est l'idéal bilatère engendré par  $\{s_1(\alpha) - t_1(\alpha) \mid \alpha \in P_2\}$ .

▶ **Exemple :**



$$xyx - xyy \in I(P) \cap \text{NF}(P).$$

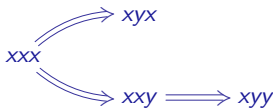
- ▶ Les **polygraphes** sont des présentations par générateurs et relations orientées de catégories (globulaires, strictes) de dimension supérieure [Burroni '93], [Street '76].
- ▶ [Guiraud-Hoffbeck-Malbos '19] : **polygraphes linéaires** pour présenter des algèbres de dimension supérieure.
  - ▶ La compatibilité des règles relativement à un ordre monomial est remplacée par une hypothèse de terminaison.
- ▶ **Théorème [Guiraud-Hoffbeck-Malbos '19]** : Soit  $P$  un 2-polygraphe linéaire terminant et monomial à gauche. Les assertions suivantes sont équivalentes:
  - $P$  est confluent.

- L'espace vectoriel  $P_1^\ell := \mathbb{K}[P_1^*]$  admet la décomposition en somme directe

$$P_1^\ell = P_1^{\text{nf}} \oplus I(P)$$

où  $P_1^{\text{nf}}$  est l'ensemble des monômes en forme normale pour  $P_1$ , et  $I(P)$  est l'idéal bilatère engendré par  $\{s_1(\alpha) - t_1(\alpha) \mid \alpha \in P_2\}$ .

▶ **Exemple :**

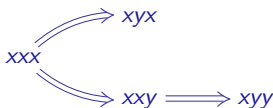


$$xyx - xyy \in I(P) \cap \text{NF}(P).$$

- ▶ [Alleaume '16] a étendu le résultat ci-dessus pour des catégories linéaires de dimension supérieure.

- ▶ Les **polygraphes** sont des présentations par générateurs et relations orientées de catégories (globulaires, strictes) de dimension supérieure [Burroni '93], [Street '76].
- ▶ [Guiraud-Hoffbeck-Malbos '19] : **polygraphes linéaires** pour présenter des algèbres de dimension supérieure.
  - ▶ La compatibilité des règles relativement à un ordre monomial est remplacée par une hypothèse de terminaison.
- ▶ **Théorème [Guiraud-Hoffbeck-Malbos '19]** : Soit  $P$  un 2-polygraphe linéaire terminant et monomial à gauche. Les assertions suivantes sont équivalentes:
  - $P$  est confluent.
  - L'espace vectoriel  $P_1^\ell := \mathbb{K}[P_1^*]$  admet la décomposition en somme directe
$$P_1^\ell = P_1^{\text{nf}} \oplus I(P)$$
où  $P_1^{\text{nf}}$  est l'ensemble des monômes en forme normale pour  $P_1$ , et  $I(P)$  est l'idéal bilatère engendré par  $\{s_1(\alpha) - t_1(\alpha) \mid \alpha \in P_2\}$ .

▶ **Exemple :**



$$xyx - xxy \in I(P) \cap \text{NF}(P).$$

- ▶ [Alleaume '16] a étendu le résultat ci-dessus pour des catégories linéaires de dimension supérieure.
- ▶ En général, on cherche à obtenir des présentations **convergentes**, *i.e.* terminantes et confluentes.
  - ▶ D'abord, prouver la terminaison.
  - ▶ Ensuite, étude exhaustive des branchements critiques.

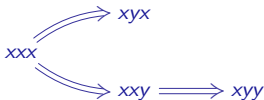
## Complétion de Knuth-Bendix

---

- ▶ À partir d'une présentation **non confluente** équipée avec un ordre de terminaison  $<$ , on peut ajouter des règles pour tenter de la rendre confluente.

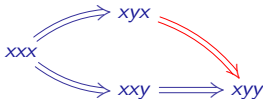
## Complétion de Knuth-Bendix

- ▶ À partir d'une présentation **non confluente** équipée avec un ordre de terminaison  $<$ , on peut ajouter des règles pour tenter de la rendre confluente.
- ▶ **Exemple** : Algèbre associative  $A$  présentée par générateurs  $X = \{x, y\}$  et relations  $R = \{x^2 \Rightarrow xy\}$ .
  - ▶ Un branchement critique :



## Complétion de Knuth-Bendix

- ▶ À partir d'une présentation **non confluente** équipée avec un ordre de terminaison  $<$ , on peut ajouter des règles pour tenter de la rendre confluente.
- ▶ **Exemple** : Algèbre associative  $A$  présentée par générateurs  $X = \{x, y\}$  et relations  $R = \{x^2 \Rightarrow xy\}$ .
  - ▶ Un branchement critique :

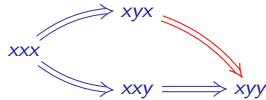


# Complétion de Knuth-Bendix

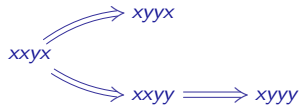
► À partir d'une présentation **non confluente** équipée avec un ordre de terminaison  $<$ , on peut ajouter des règles pour tenter de la rendre confluente.

► **Exemple** : Algèbre associative  $A$  présentée par générateurs  $X = \{x, y\}$  et relations  $R = \{x^2 \Rightarrow xy\}$ .

► Un branchement critique :



► Nouveaux branchements critiques sur  $xyyx$  et  $xyxx$ :

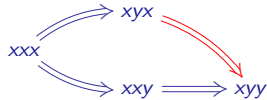


# Complétion de Knuth-Bendix

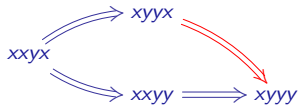
► À partir d'une présentation **non confluente** équipée avec un ordre de terminaison  $<$ , on peut ajouter des règles pour tenter de la rendre confluente.

► **Exemple** : Algèbre associative  $A$  présentée par générateurs  $X = \{x, y\}$  et relations  $R = \{x^2 \Rightarrow xy\}$ .

► Un branchement critique :



► Nouveaux branchements critiques sur  $xyyx$  et  $xyxx$ :

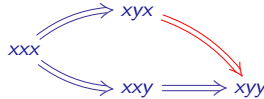


# Complétion de Knuth-Bendix

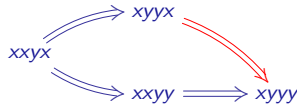
► À partir d'une présentation **non confluente** équipée avec un ordre de terminaison  $<$ , on peut ajouter des règles pour tenter de la rendre confluente.

► **Exemple** : Algèbre associative  $A$  présentée par générateurs  $X = \{x, y\}$  et relations  $R = \{x^2 \Rightarrow xy\}$ .

► Un branchement critique :



► Nouveaux branchements critiques sur  $xyyx$  et  $xyxx$ :



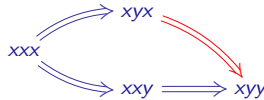
► Algèbre associative  $A$  présentée par générateurs  $X = \{x, y, z\}$  et relations  $R = \{yz \stackrel{\alpha}{\Rightarrow} zx, xy \stackrel{\beta}{\Rightarrow} z\}$ .

# Complétion de Knuth-Bendix

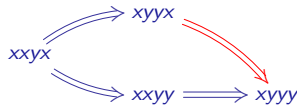
► À partir d'une présentation **non confluente** équipée avec un ordre de terminaison  $<$ , on peut ajouter des règles pour tenter de la rendre confluente.

► **Exemple :** Algèbre associative  $A$  présentée par générateurs  $X = \{x, y\}$  et relations  $R = \{x^2 \Rightarrow xy\}$ .

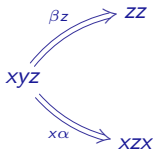
► Un branchement critique :



► Nouveaux branchements critiques sur  $xyyx$  et  $xyxx$ :



► Algèbre associative  $A$  présentée par générateurs  $X = \{x, y, z\}$  et relations  $R = \{yz \stackrel{\alpha}{\Rightarrow} zx, xy \stackrel{\beta}{\Rightarrow} z\}$ .

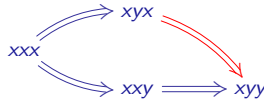


# Complétion de Knuth-Bendix

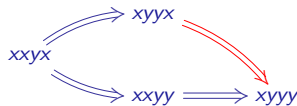
► À partir d'une présentation **non confluente** équipée avec un ordre de terminaison  $<$ , on peut ajouter des règles pour tenter de la rendre confluente.

► **Exemple** : Algèbre associative  $A$  présentée par générateurs  $X = \{x, y\}$  et relations  $R = \{x^2 \Rightarrow xy\}$ .

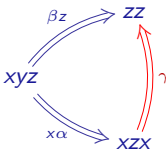
► Un branchement critique :



► Nouveaux branchements critiques sur  $xyyx$  et  $xyxx$ :



► Algèbre associative  $A$  présentée par générateurs  $X = \{x, y, z\}$  et relations  $R = \{yz \stackrel{\alpha}{\Rightarrow} zx, xy \stackrel{\beta}{\Rightarrow} z\}$ .

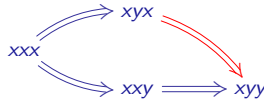


# Complétion de Knuth-Bendix

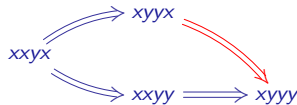
► À partir d'une présentation **non confluente** équipée avec un ordre de terminaison  $<$ , on peut ajouter des règles pour tenter de la rendre confluente.

► **Exemple :** Algèbre associative  $A$  présentée par générateurs  $X = \{x, y\}$  et relations  $R = \{x^2 \Rightarrow xy\}$ .

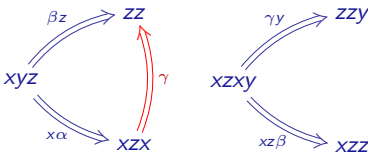
► Un branchement critique :



► Nouveaux branchements critiques sur  $xyyx$  et  $xyxx$ :



► Algèbre associative  $A$  présentée par générateurs  $X = \{x, y, z\}$  et relations  $R = \{yz \stackrel{\alpha}{\Rightarrow} zx, xy \stackrel{\beta}{\Rightarrow} z\}$ .

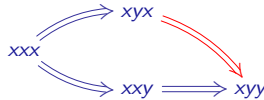


# Complétion de Knuth-Bendix

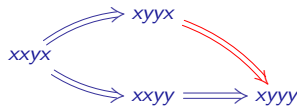
► À partir d'une présentation **non confluente** équipée avec un ordre de terminaison  $<$ , on peut ajouter des règles pour tenter de la rendre confluente.

► **Exemple** : Algèbre associative  $A$  présentée par générateurs  $X = \{x, y\}$  et relations  $R = \{x^2 \Rightarrow xy\}$ .

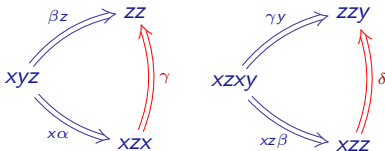
► Un branchement critique :



► Nouveaux branchements critiques sur  $xyyx$  et  $xyxx$ :



► Algèbre associative  $A$  présentée par générateurs  $X = \{x, y, z\}$  et relations  $R = \{yz \xrightarrow{\alpha} zx, xy \xrightarrow{\beta} z\}$ .

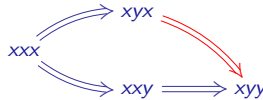


# Complétion de Knuth-Bendix

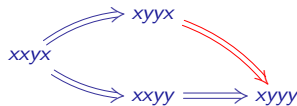
▶ À partir d'une présentation **non confluente** équipée avec un ordre de terminaison  $<$ , on peut ajouter des règles pour tenter de la rendre confluente.

▶ **Exemple** : Algèbre associative  $A$  présentée par générateurs  $X = \{x, y\}$  et relations  $R = \{x^2 \Rightarrow xy\}$ .

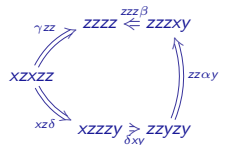
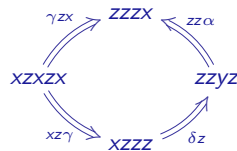
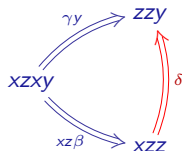
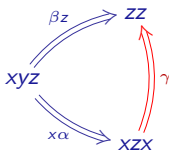
▶ Un branchement critique :



▶ Nouveaux branchements critiques sur  $xyyx$  et  $xyxx$ :



▶ Algèbre associative  $A$  présentée par générateurs  $X = \{x, y, z\}$  et relations  $R = \{yz \stackrel{\alpha}{\Rightarrow} zx, xy \stackrel{\beta}{\Rightarrow} z\}$ .



## II. Réécriture dans des 2-catégories linéaires

- ▶ **Algèbre diagrammatique** : algèbre ou catégorie monoïdale linéaire présentée par générateurs et relations représentés par des diagrammes.

- ▶ **Algèbre diagrammatique** : algèbre ou catégorie monoïdale linéaire présentée par générateurs et relations représentés par des diagrammes.
- ▶ **Exemple** : Pour  $n \in \mathbb{N}$ , l'algèbre nil Hecke  $\mathcal{NH}_n$  de degré  $n$  est présentée par
  - ▶ générateurs  $x_i$  pour  $1 \leq i \leq n$  et  $\tau_i$  pour  $1 \leq i < n$ ;

► **Algèbre diagrammatique** : algèbre ou catégorie monoïdale linéaire présentée par générateurs et relations représentés par des diagrammes.

► **Exemple** : Pour  $n \in \mathbb{N}$ , l'algèbre nil Hecke  $\mathcal{NH}_n$  de degré  $n$  est présentée par

► générateurs  $x_i$  pour  $1 \leq i \leq n$  et  $\tau_i$  pour  $1 \leq i < n$ ;

► relations :

$$x_i x_j = x_j x_i$$

$$\tau_i x_j = x_j \tau_i \quad \text{si } |i - j| > 1$$

$$\tau_i \tau_j = \tau_j \tau_i \quad \text{si } |i - j| > 1$$

$$\tau_i^2 = 0$$

$$\tau_i \tau_{i+1} \tau_i = \tau_{i+1} \tau_i \tau_{i+1}$$

$$x_i \tau_i - \tau_i x_{i+1} = 1$$

$$\tau_i x_i - x_{i+1} \tau_i = 1$$

► **Algèbre diagrammatique** : algèbre ou catégorie monoïdale linéaire présentée par générateurs et relations représentés par des diagrammes.

► **Exemple** : Pour  $n \in \mathbb{N}$ , l'algèbre nil Hecke  $\mathcal{NH}_n$  de degré  $n$  est présentée par

► générateurs  $x_i$  pour  $1 \leq i \leq n$  et  $\tau_i$  pour  $1 \leq i < n$ ;

$$x_i = \left| \begin{array}{c} \dots \\ \bullet \\ \dots \\ 1 \quad i \quad n \end{array} \right|, \quad \tau_i = \left| \begin{array}{c} \dots \\ \diagdown \quad \diagup \\ \dots \\ 1 \quad i \quad i+1 \quad n \end{array} \right|$$

► relations :

$$x_i x_j = x_j x_i$$

$$\tau_i x_j = x_j \tau_i \quad \text{si } |i - j| > 1$$

$$\tau_i \tau_j = \tau_j \tau_i \quad \text{si } |i - j| > 1$$

$$\tau_i^2 = 0$$

$$\tau_i \tau_{i+1} \tau_i = \tau_{i+1} \tau_i \tau_{i+1}$$

$$x_i \tau_i - \tau_i x_{i+1} = 1$$

$$\tau_i x_i - x_{i+1} \tau_i = 1$$



► **Algèbre diagrammatique** : algèbre ou catégorie monoïdale linéaire présentée par générateurs et relations représentés par des diagrammes.

► **Exemple** : Pour  $n \in \mathbb{N}$ , l'algèbre nil Hecke  $\mathcal{NH}_n$  de degré  $n$  est présentée par

► générateurs  $x_i$  pour  $1 \leq i \leq n$  et  $\tau_i$  pour  $1 \leq i < n$ ;

$$x_i = \begin{array}{c} | \dots | \bullet | \dots | \\ \hline 1 \quad i \quad n \end{array}, \quad \tau_i = \begin{array}{c} | \dots | \diagdown \diagup | \dots | \\ | \dots | \diagup \diagdown | \dots | \\ \hline 1 \quad i \quad i+1 \quad n \end{array}$$

► relations :

$$x_i x_j = x_j x_i$$

$$\tau_i x_j = x_j \tau_i \quad \text{si } |i - j| > 1$$

$$\tau_i \tau_j = \tau_j \tau_i \quad \text{si } |i - j| > 1$$

$$\tau_i^2 = 0$$

$$\tau_i \tau_{i+1} \tau_i = \tau_{i+1} \tau_i \tau_{i+1}$$

$$x_i \tau_i - \tau_i x_{i+1} = 1$$

$$\tau_i x_i - x_{i+1} \tau_i = 1$$

$$\begin{array}{c} | \dots | \diagdown \diagup | \dots | \\ | \dots | \diagup \diagdown | \dots | \\ \hline 1 \quad i \quad i+1 \quad j \quad n \end{array} = \begin{array}{c} | \dots | \diagdown \diagup | \dots | \\ | \dots | \diagup \diagdown | \dots | \\ \hline 1 \quad i \quad i+1 \quad j \quad n \end{array}$$



► **Algèbre diagrammatique** : algèbre ou catégorie monoïdale linéaire présentée par générateurs et relations représentés par des diagrammes.

► **Exemple** : Pour  $n \in \mathbb{N}$ , l'algèbre nil Hecke  $\mathcal{NH}_n$  de degré  $n$  est présentée par

► générateurs  $x_i$  pour  $1 \leq i \leq n$  et  $\tau_i$  pour  $1 \leq i < n$ ;

$$x_i = \left| \begin{array}{c} \dots \\ \bullet \\ \dots \\ 1 \quad i \quad n \end{array} \right|, \quad \tau_i = \left| \begin{array}{c} \dots \\ \diagdown \quad \diagup \\ \dots \\ 1 \quad i \quad i+1 \quad n \end{array} \right|$$

► relations :

$$x_i x_j = x_j x_i$$

$$\tau_i x_j = x_j \tau_i \quad \text{si } |i - j| > 1$$

$$\tau_i \tau_j = \tau_j \tau_i \quad \text{si } |i - j| > 1$$

$$\tau_i^2 = 0$$

$$\tau_i \tau_{i+1} \tau_i = \tau_{i+1} \tau_i \tau_{i+1}$$

$$x_i \tau_i - \tau_i x_{i+1} = 1$$

$$\tau_i x_i - x_{i+1} \tau_i = 1$$

$$\left| \begin{array}{c} \dots \\ \diagdown \quad \diagup \\ \diagup \quad \diagdown \\ \dots \\ 1 \quad i \quad i+1 \quad n \end{array} \right| = 0$$



- ▶ **Algèbre diagrammatique** : algèbre ou catégorie monoïdale linéaire présentée par générateurs et relations représentés par des diagrammes.

- ▶ **Exemple** : Pour  $n \in \mathbb{N}$ , l'algèbre nil Hecke  $\mathcal{NH}_n$  de degré  $n$  est présentée par

- ▶ générateurs  $x_i$  pour  $1 \leq i \leq n$  et  $\tau_i$  pour  $1 \leq i < n$ ;

$$x_i = \left| \begin{array}{c} \dots \\ \bullet \\ \dots \\ 1 \quad i \quad n \end{array} \right|, \quad \tau_i = \left| \begin{array}{c} \dots \\ \diagdown \quad \diagup \\ \dots \\ 1 \quad i \quad i+1 \quad n \end{array} \right|$$

- ▶ relations :

$$x_i x_j = x_j x_i$$

$$\tau_i x_j = x_j \tau_i \quad \text{si } |i - j| > 1$$

$$\tau_i \tau_j = \tau_j \tau_i \quad \text{si } |i - j| > 1$$

$$\tau_i^2 = 0$$

$$\tau_i \tau_{i+1} \tau_i = \tau_{i+1} \tau_i \tau_{i+1}$$

$$x_i \tau_i - \tau_i x_{i+1} = 1$$

$$\tau_i x_i - x_{i+1} \tau_i = 1$$

$i \quad i+1 \quad i+2 \qquad i \quad i+1 \quad i+2$



- **Algèbre diagrammatique** : algèbre ou catégorie monoïdale linéaire présentée par générateurs et relations représentés par des diagrammes.

- **Exemple** : Pour  $n \in \mathbb{N}$ , l'algèbre nil Hecke  $\mathcal{NH}_n$  de degré  $n$  est présentée par

- générateurs  $x_i$  pour  $1 \leq i \leq n$  et  $\tau_i$  pour  $1 \leq i < n$ ;

$$x_i = \begin{array}{c} | \quad \dots \quad | \quad \bullet \quad \dots \quad | \\ 1 \qquad \qquad i \qquad \qquad n \end{array}, \quad \tau_i = \begin{array}{c} | \quad \quad \quad \diagdown \quad \diagup \quad | \\ \dots \quad i \quad \quad i+1 \quad \dots \\ | \quad \quad \quad \diagup \quad \diagdown \quad | \\ 1 \quad \quad \quad i \quad \quad i+1 \quad n \end{array}$$

- relations :

$$x_i x_j = x_j x_i$$

$$\tau_i x_j = x_j \tau_i \quad \text{si } |i - j| > 1$$

$$\tau_i \tau_j = \tau_j \tau_i \quad \text{si } |i - j| > 1$$

$$\tau_i^2 = 0$$

$$\tau_i \tau_{i+1} \tau_i = \tau_{i+1} \tau_i \tau_{i+1}$$

$$x_i \tau_i - \tau_i x_{i+1} = 1$$

$$\tau_i x_i - x_{i+1} \tau_i = 1$$

$$\begin{array}{c} \bullet \\ \diagdown \quad \diagup \\ i \quad i+1 \end{array} = \begin{array}{c} \diagdown \quad \diagup \\ i \quad i+1 \\ \bullet \end{array} + \begin{array}{c} | \quad | \\ i \quad i+1 \end{array}$$

- **Algèbre diagrammatique** : algèbre ou catégorie monoïdale linéaire présentée par générateurs et relations représentés par des diagrammes.

- **Exemple** : Pour  $n \in \mathbb{N}$ , l'algèbre nil Hecke  $\mathcal{NH}_n$  de degré  $n$  est présentée par

- générateurs  $x_i$  pour  $1 \leq i \leq n$  et  $\tau_i$  pour  $1 \leq i < n$ ;

$$x_i = \begin{array}{c} | \dots | \bullet | \dots | \\ \hline 1 \qquad i \qquad n \end{array}, \quad \tau_i = \begin{array}{c} | \qquad \diagup \qquad \diagdown | \\ | \qquad \diagdown \qquad \diagup | \\ \hline 1 \qquad i \qquad i+1 \qquad n \end{array}$$

- relations :

$$x_i x_j = x_j x_i$$

$$\tau_i x_j = x_j \tau_i \quad \text{si } |i - j| > 1$$

$$\tau_i \tau_j = \tau_j \tau_i \quad \text{si } |i - j| > 1$$

$$\tau_i^2 = 0$$

$$\tau_i \tau_{i+1} \tau_i = \tau_{i+1} \tau_i \tau_{i+1}$$

$$x_i \tau_i - \tau_i x_{i+1} = 1$$

$$\tau_i x_i - x_{i+1} \tau_i = 1$$

$$\begin{array}{c} \bullet \\ | \diagdown \qquad | \\ | \diagup \qquad | \\ \hline i \qquad i+1 \end{array} = \begin{array}{c} | \diagdown \qquad | \\ | \diagup \qquad | \\ \hline i \qquad i+1 \end{array} + \begin{array}{c} | \qquad | \\ \hline i \qquad i+1 \end{array}$$

- On étudie ces algèbres de manière économique en les réalisant comme des 2-HOM-sets de **2-catégories linéaires**.

- ▶ Une **catégorie monoïdale  $\mathbb{K}$ -linéaire** est une catégorie  $\mathcal{A}$  munie:

- ▶ Une **catégorie monoïdale  $\mathbb{K}$ -linéaire** est une catégorie  $\mathcal{A}$  munie:
  - ▶ un produit tensoriel  $\otimes : \mathcal{A} \times \mathcal{A} \rightarrow \mathcal{A}$  associatif.

- ▶ Une **catégorie monoïdale  $\mathbb{K}$ -linéaire** est une catégorie  $\mathcal{A}$  munie:
  - ▶ un produit tensoriel  $\otimes : \mathcal{A} \times \mathcal{A} \rightarrow \mathcal{A}$  associatif.
  - ▶ un objet unité  $\mathbb{1}$  tel que  $\mathbb{1} \otimes A = A = A \otimes \mathbb{1}$  pour tout objet de  $\mathcal{A}$ .

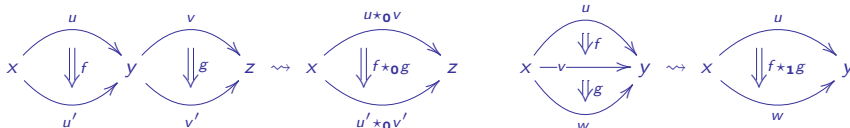
- ▶ Une **catégorie monoïdale  $\mathbb{K}$ -linéaire** est une catégorie  $\mathcal{A}$  munie:
  - ▶ un produit tensoriel  $\otimes : \mathcal{A} \times \mathcal{A} \rightarrow \mathcal{A}$  associatif.
  - ▶ un objet unité  $\mathbb{1}$  tel que  $\mathbb{1} \otimes A = A = A \otimes \mathbb{1}$  pour tout objet de  $\mathcal{A}$ .
  - ▶ une structure de  $\mathbb{K}$ -espace vectoriel pour chaque espace de morphismes  $\mathcal{A}(A, B)$ .

- ▶ Une **catégorie monoïdale  $\mathbb{K}$ -linéaire** est une catégorie  $\mathcal{A}$  munie:
  - ▶ un produit tensoriel  $\otimes : \mathcal{A} \times \mathcal{A} \rightarrow \mathcal{A}$  associatif.
  - ▶ un objet unité  $\mathbb{1}$  tel que  $\mathbb{1} \otimes A = A = A \otimes \mathbb{1}$  pour tout objet de  $\mathcal{A}$ .
  - ▶ une structure de  $\mathbb{K}$ -espace vectoriel pour chaque espace de morphismes  $\mathcal{A}(A, B)$ .
  - ▶ la composition et le produit tensoriel de morphismes sont  $\mathbb{K}$ -bilinéaires.

- ▶ Une **catégorie monoïdale  $\mathbb{K}$ -linéaire** est une catégorie  $\mathcal{A}$  munie:
  - ▶ un produit tensoriel  $\otimes : \mathcal{A} \times \mathcal{A} \rightarrow \mathcal{A}$  associatif.
  - ▶ un objet unité  $\mathbb{1}$  tel que  $\mathbb{1} \otimes A = A = A \otimes \mathbb{1}$  pour tout objet de  $\mathcal{A}$ .
  - ▶ une structure de  $\mathbb{K}$ -espace vectoriel pour chaque espace de morphismes  $\mathcal{A}(A, B)$ .
  - ▶ la composition et le produit tensoriel de morphismes sont  $\mathbb{K}$ -bilinéaires.
- ▶ Une **2-catégorie  $\mathbb{K}$ -linéaire** est la donnée d'une 2-catégorie  $\mathcal{C} = (\mathcal{C}_0, \mathcal{C}_1, \mathcal{C}_2)$  telle que:
  - ▶ pour tous  $p, q$  dans  $\mathcal{C}_1$ ,  $\mathcal{C}_2(p, q)$  est un  $\mathbb{K}$ -espace vectoriel.

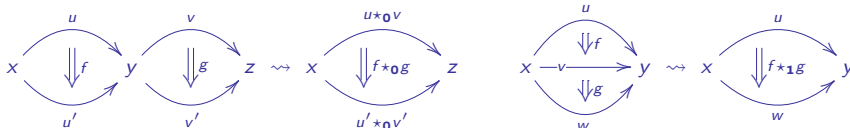
## 2-catégories linéaires

- ▶ Une **catégorie monoïdale  $\mathbb{K}$ -linéaire** est une catégorie  $\mathcal{A}$  munie :
  - ▶ un produit tensoriel  $\otimes : \mathcal{A} \times \mathcal{A} \rightarrow \mathcal{A}$  associatif.
  - ▶ un objet unité  $\mathbb{1}$  tel que  $\mathbb{1} \otimes A = A = A \otimes \mathbb{1}$  pour tout objet de  $\mathcal{A}$ .
  - ▶ une structure de  $\mathbb{K}$ -espace vectoriel pour chaque espace de morphismes  $\mathcal{A}(A, B)$ .
  - ▶ la composition et le produit tensoriel de morphismes sont  $\mathbb{K}$ -bilinéaires.
- ▶ Une **2-catégorie  $\mathbb{K}$ -linéaire** est la donnée d'une 2-catégorie  $\mathcal{C} = (\mathcal{C}_0, \mathcal{C}_1, \mathcal{C}_2)$  telle que :
  - ▶ pour tous  $p, q$  dans  $\mathcal{C}_1$ ,  $\mathcal{C}_2(p, q)$  est un  $\mathbb{K}$ -espace vectoriel.
  - ▶  $\star_0$  et  $\star_1$ -composition de 1-cellules sont  $\mathbb{K}$ -bilinéaires.



## 2-catégories linéaires

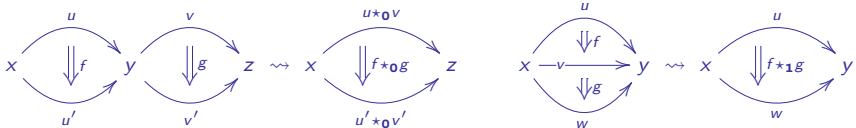
- ▶ Une **catégorie monoïdale  $\mathbb{K}$ -linéaire** est une catégorie  $\mathcal{A}$  munie :
  - ▶ un produit tensoriel  $\otimes : \mathcal{A} \times \mathcal{A} \rightarrow \mathcal{A}$  associatif.
  - ▶ un objet unité  $\mathbb{1}$  tel que  $\mathbb{1} \otimes A = A = A \otimes \mathbb{1}$  pour tout objet de  $\mathcal{A}$ .
  - ▶ une structure de  $\mathbb{K}$ -espace vectoriel pour chaque espace de morphismes  $\mathcal{A}(A, B)$ .
  - ▶ la composition et le produit tensoriel de morphismes sont  $\mathbb{K}$ -bilinéaires.
- ▶ Une **2-catégorie  $\mathbb{K}$ -linéaire** est la donnée d'une 2-catégorie  $\mathcal{C} = (\mathcal{C}_0, \mathcal{C}_1, \mathcal{C}_2)$  telle que :
  - ▶ pour tous  $p, q$  dans  $\mathcal{C}_1$ ,  $\mathcal{C}_2(p, q)$  est un  $\mathbb{K}$ -espace vectoriel.
  - ▶  $\star_0$  et  $\star_1$ -composition de 1-cellules sont  $\mathbb{K}$ -bilinéaires.



- ▶ Lorsque  $\mathcal{C}_0 = \{*\}$ , ces deux objets coïncident.

## 2-catégories linéaires

- ▶ Une **catégorie monoïdale  $\mathbb{K}$ -linéaire** est une catégorie  $\mathcal{A}$  munie de :
  - ▶ un produit tensoriel  $\otimes : \mathcal{A} \times \mathcal{A} \rightarrow \mathcal{A}$  associatif.
  - ▶ un objet unité  $\mathbb{1}$  tel que  $\mathbb{1} \otimes A = A = A \otimes \mathbb{1}$  pour tout objet de  $\mathcal{A}$ .
  - ▶ une structure de  $\mathbb{K}$ -espace vectoriel pour chaque espace de morphismes  $\mathcal{A}(A, B)$ .
  - ▶ la composition et le produit tensoriel de morphismes sont  $\mathbb{K}$ -bilinéaires.
- ▶ Une **2-catégorie  $\mathbb{K}$ -linéaire** est la donnée d'une 2-catégorie  $\mathcal{C} = (\mathcal{C}_0, \mathcal{C}_1, \mathcal{C}_2)$  telle que :
  - ▶ pour tous  $p, q$  dans  $\mathcal{C}_1$ ,  $\mathcal{C}_2(p, q)$  est un  $\mathbb{K}$ -espace vectoriel.
  - ▶  $\star_0$  et  $\star_1$ -composition de 1-cellules sont  $\mathbb{K}$ -bilinéaires.



- ▶ Lorsque  $\mathcal{C}_0 = \{*\}$ , ces deux objets coïncident.

objets de  $\mathcal{A} \leftrightarrow$  1-cellules de  $\mathcal{C}$

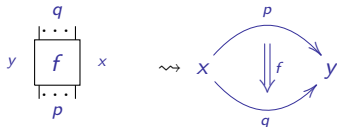
morphismes de  $\mathcal{A} \leftrightarrow$  2-cellules de  $\mathcal{C}$

$\otimes \leftrightarrow \star_0$ ,      composition de morphismes  $\leftrightarrow \star_1$

## Diagrammes de cordes

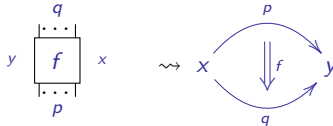
---

- ▶ Les 2-cellules d'une 2-catégorie (linéaire) peuvent être représentées par des diagrammes de cordes :

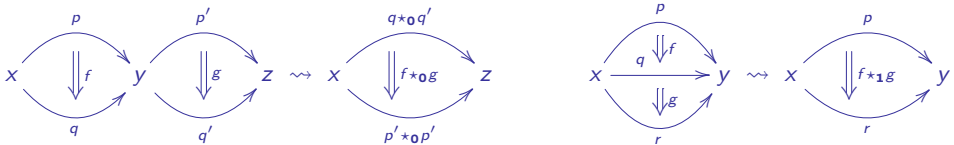


# Diagrammes de cordes

- Les 2-cellules d'une 2-catégorie (linéaire) peuvent être représentées par des diagrammes de cordes :

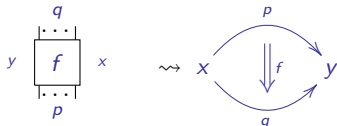


- Compositions:

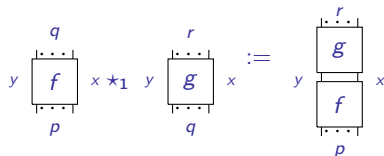
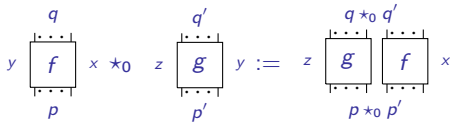
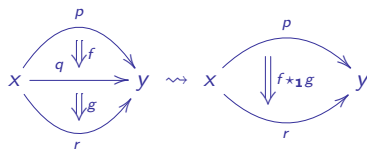
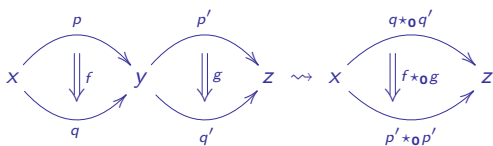


# Diagrammes de cordes

- Les 2-cellules d'une 2-catégorie (linéaire) peuvent être représentées par des diagrammes de cordes :

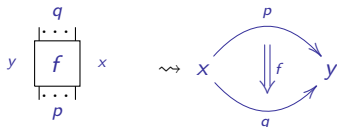


- Compositions:

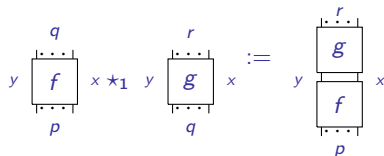
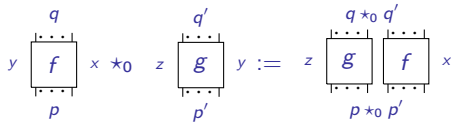
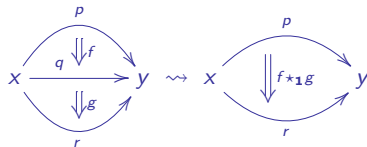
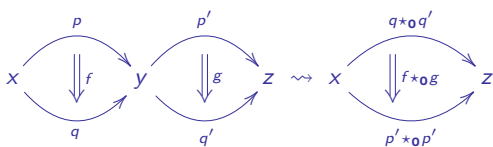


# Diagrammes de cordes

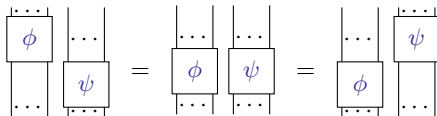
- Les 2-cellules d'une 2-catégorie (linéaire) peuvent être représentées par des diagrammes de cordes :



- Compositions:



- Ces compositions satisfont la **relation d'échange** :



## Présentations de 2-catégories linéaires

---

- ▶ Les 2-catégories linéaires sont présentées par des  $(3, 2)$ -polygraphes linéaires, qui consistent en un quadruplet  $(P_0, P_1, P_2, P_3)$  avec :

## Présentations de 2-catégories linéaires

---

- ▶ Les 2-catégories linéaires sont présentées par des **(3, 2)-polygraphes linéaires**, qui consistent en un quadruplet  $(P_0, P_1, P_2, P_3)$  avec :
- ▶  $(P_1, P_0)$  est un graphe orienté, avec applications source et but  $s_0, t_0$ .

## Présentations de 2-catégories linéaires

---

- ▶ Les 2-catégories linéaires sont présentées par des  $(3, 2)$ -polygraphes linéaires, qui consistent en un quadruplet  $(P_0, P_1, P_2, P_3)$  avec :
- ▶  $(P_1, P_0)$  est un graphe orienté, avec applications source et but  $s_0, t_0$ .
- ▶  $P_0 = \{*\}, P_1 = \{1 : * \rightarrow *\}$ .

## Présentations de 2-catégories linéaires

---

- ▶ Les 2-catégories linéaires sont présentées par des  $(3, 2)$ -polygraphes linéaires, qui consistent en un quadruplet  $(P_0, P_1, P_2, P_3)$  avec :
  - ▶  $(P_1, P_0)$  est un graphe orienté, avec applications source et but  $s_0, t_0$ .
  - ▶  $P_0 = \{*\}, P_1 = \{1 : * \rightarrow *\}$ .
  - ▶  $P_1^*$ : 1-catégorie libre engendrée par  $(P_0, P_1)$ .

## Présentations de 2-catégories linéaires

---

- ▶ Les 2-catégories linéaires sont présentées par des  $(3, 2)$ -polygraphes linéaires, qui consistent en un quadruplet  $(P_0, P_1, P_2, P_3)$  avec :
  - ▶  $(P_1, P_0)$  est un graphe orienté, avec applications source et but  $s_0, t_0$ .
  - ▶  $P_0 = \{*\}, P_1 = \{1 : * \rightarrow *\}$ .
  - ▶  $P_1^*$ : 1-catégorie libre engendrée par  $(P_0, P_1)$ .
  - ▶  $P_1^* \simeq \mathbb{N}$  (Nombre de brins).

# Présentations de 2-catégories linéaires

► Les 2-catégories linéaires sont présentées par des **(3, 2)-polygraphes linéaires**, qui consistent en un quadruplet  $(P_0, P_1, P_2, P_3)$  avec :

►  $(P_1, P_0)$  est un graphe orienté, avec applications source et but  $s_0, t_0$ .

►  $P_0 = \{*\}, P_1 = \{1 : * \rightarrow *\}$ .

►  $P_1^*$ : 1-catégorie libre engendrée par  $(P_0, P_1)$ .

►  $P_1^* \simeq \mathbb{N}$  (Nombre de brins).

► **Extension cellulaire**

$$P_2 \begin{array}{c} \xrightarrow{s_1} \\ \xrightarrow{t_1} \end{array} P_1^*$$

satisfaisant des **relations globulaires** :

$$s_0 s_1 = s_0 t_1, \quad t_0 s_1 = t_0 t_1.$$

# Présentations de 2-catégories linéaires

- ▶ Les 2-catégories linéaires sont présentées par des **(3, 2)-polygraphes linéaires**, qui consistent en un quadruplet  $(P_0, P_1, P_2, P_3)$  avec :

- ▶  $(P_1, P_0)$  est un graphe orienté, avec applications source et but  $s_0, t_0$ .

- ▶  $P_0 = \{*\}, P_1 = \{1 : * \rightarrow *\}$ .

- ▶  $P_1^*$ : 1-catégorie libre engendrée par  $(P_0, P_1)$ .

- ▶  $P_1^* \simeq \mathbb{N}$  (Nombre de brins).

- ▶ **Extension cellulaire**

- ▶  $P_2 = \{ \begin{array}{c} \diagup \quad \diagdown \\ \diagdown \quad \diagup \end{array} : 2 \rightarrow 2, \quad \bullet : 1 \rightarrow 1 \}$

$$P_2 \begin{array}{c} \xrightarrow{s_1} \\ \xrightarrow{t_1} \end{array} P_1^*$$

satisfaisant des **relations globulaires** :

$$s_0 s_1 = s_0 t_1, \quad t_0 s_1 = t_0 t_1.$$

# Présentations de 2-catégories linéaires

- ▶ Les 2-catégories linéaires sont présentées par des **(3, 2)-polygraphes linéaires**, qui consistent en un quadruplet  $(P_0, P_1, P_2, P_3)$  avec :

- ▶  $(P_1, P_0)$  est un graphe orienté, avec applications source et but  $s_0, t_0$ .

- ▶  $P_0 = \{*\}, P_1 = \{1 : * \rightarrow *\}$ .

- ▶  $P_1^*$ : 1-catégorie libre engendrée par  $(P_0, P_1)$ .

- ▶  $P_1^* \simeq \mathbb{N}$  (Nombre de brins).

- ▶ **Extension cellulaire**

- ▶  $P_2 = \{ \begin{array}{c} \diagup \quad \diagdown \\ \diagdown \quad \diagup \end{array} : 2 \rightarrow 2, \quad \bullet : 1 \rightarrow 1 \}$

$$P_2 \begin{array}{c} \xrightarrow{s_1} \\ \xrightarrow{t_1} \end{array} P_1^*$$

satisfaisant des **relations globulaires** :

$$s_0 s_1 = s_0 t_1, \quad t_0 s_1 = t_0 t_1.$$

- ▶  $P_2^*$ : 2-catégorie libre sur  $(P_0, P_1, P_2)$ .

# Présentations de 2-catégories linéaires

- ▶ Les 2-catégories linéaires sont présentées par des **(3, 2)-polygraphes linéaires**, qui consistent en un quadruplet  $(P_0, P_1, P_2, P_3)$  avec :

- ▶  $(P_1, P_0)$  est un graphe orienté, avec applications source et but  $s_0, t_0$ .

- ▶  $P_1^*$ : 1-catégorie libre engendrée par  $(P_0, P_1)$ .

- ▶ **Extension cellulaire**

$$P_2 \begin{array}{c} \xrightarrow{s_1} \\ \xrightarrow{t_1} \end{array} P_1^*$$

satisfaisant des **relations globulaires** :

$$s_0 s_1 = s_0 t_1, \quad t_0 s_1 = t_0 t_1.$$

- ▶  $P_2^*$ : 2-catégorie libre sur  $(P_0, P_1, P_2)$ .

- ▶  $P_0 = \{*\}, P_1 = \{1 : * \rightarrow *\}$ .

- ▶  $P_1^* \simeq \mathbb{N}$  (Nombre de brins).

- ▶  $P_2 = \{ \begin{array}{c} \diagup \quad \diagdown \\ \diagdown \quad \diagup \end{array} : 2 \rightarrow 2, \quad \begin{array}{c} | \\ \bullet \\ | \end{array} : 1 \rightarrow 1 \}$

- ▶  $P_2^* = \{ *0, *1 \text{ compositions de points et croisements} \}$ .

# Présentations de 2-catégories linéaires

- ▶ Les 2-catégories linéaires sont présentées par des **(3, 2)-polygraphes linéaires**, qui consistent en un quadruplet  $(P_0, P_1, P_2, P_3)$  avec :

- ▶  $(P_1, P_0)$  est un graphe orienté, avec applications source et but  $s_0, t_0$ .

- ▶  $P_1^*$ : 1-catégorie libre engendrée par  $(P_0, P_1)$ .

- ▶ **Extension cellulaire**

$$P_2 \begin{array}{c} \xrightarrow{s_1} \\ \xrightarrow{t_1} \end{array} P_1^*$$

satisfaisant des **relations globulaires** :

$$s_0 s_1 = s_0 t_1, \quad t_0 s_1 = t_0 t_1.$$

- ▶  $P_2^*$ : 2-catégorie libre sur  $(P_0, P_1, P_2)$ .

- ▶  $P_2^\ell$ : 2-catégorie linéaire libre sur  $(P_0, P_1, P_2)$ :

$$\forall x, y \in P_1^* : P_2^\ell(x, y) = \mathbb{K}[P_2^*(x, y)].$$

- ▶  $P_0 = \{*\}, P_1 = \{1 : * \rightarrow *\}$ .

- ▶  $P_1^* \simeq \mathbb{N}$  (Nombre de brins).

- ▶  $P_2 = \{ \begin{array}{c} \diagup \quad \diagdown \\ \diagdown \quad \diagup \end{array} : 2 \rightarrow 2, \quad \bullet : 1 \rightarrow 1 \}$

- ▶  $P_2^* = \{ *0, *1 \text{ compositions de points et croisements} \}$ .

# Présentations de 2-catégories linéaires

- ▶ Les 2-catégories linéaires sont présentées par des **(3, 2)-polygraphes linéaires**, qui consistent en un quadruplet  $(P_0, P_1, P_2, P_3)$  avec :

- ▶  $(P_1, P_0)$  est un graphe orienté, avec applications source et but  $s_0, t_0$ .

- ▶  $P_1^*$ : 1-catégorie libre engendrée par  $(P_0, P_1)$ .

- ▶ **Extension cellulaire**

$$P_2 \begin{array}{c} \xrightarrow{s_1} \\ \xrightarrow{t_1} \end{array} P_1^*$$

satisfaisant des **relations globulaires** :

$$s_0 s_1 = s_0 t_1, \quad t_0 s_1 = t_0 t_1.$$

- ▶  $P_2^*$ : 2-catégorie libre sur  $(P_0, P_1, P_2)$ .

- ▶  $P_2^\ell$ : 2-catégorie linéaire libre sur  $(P_0, P_1, P_2)$ :

$$\forall x, y \in P_1^* : P_2^\ell(x, y) = \mathbb{K}[P_2^*(x, y)].$$

- ▶  $P_0 = \{*\}, P_1 = \{1 : * \rightarrow *\}$ .

- ▶  $P_1^* \simeq \mathbb{N}$  (Nombre de brins).

- ▶  $P_2 = \left\{ \begin{array}{c} \diagup \quad \diagdown \\ \diagdown \quad \diagup \end{array} : 2 \rightarrow 2, \quad \begin{array}{c} | \\ \bullet \end{array} : 1 \rightarrow 1 \right\}$

- ▶  $P_2^* = \{ \star_0, \star_1 \text{ compositions de points et croisements} \}$ .

- ▶  $P_2^\ell = \{ \mathbb{K} - \text{combinaisons linéaires de } P_2^* \}$ .

# Présentations de 2-catégories linéaires

- ▶ Les 2-catégories linéaires sont présentées par des **(3, 2)-polygraphes linéaires**, qui consistent en un quadruplet  $(P_0, P_1, P_2, P_3)$  avec :

- ▶  $(P_1, P_0)$  est un graphe orienté, avec applications source et but  $s_0, t_0$ .

- ▶  $P_1^*$ : 1-catégorie libre engendrée par  $(P_0, P_1)$ .

- ▶ **Extension cellulaire**

$$P_2 \begin{array}{c} \xrightarrow{s_1} \\ \xrightarrow{t_1} \end{array} P_1^*$$

satisfaisant des **relations globulaires** :

$$s_0 s_1 = s_0 t_1, \quad t_0 s_1 = t_0 t_1.$$

- ▶  $P_2^*$ : 2-catégorie libre sur  $(P_0, P_1, P_2)$ .

- ▶  $P_2^\ell$ : 2-catégorie linéaire libre sur  $(P_0, P_1, P_2)$ :

$$\forall x, y \in P_1^* : P_2^\ell(x, y) = \mathbb{K}[P_2^*(x, y)].$$

- ▶ Extension cellulaire

$$P_3 \begin{array}{c} \xrightarrow{s_2} \\ \xrightarrow{t_2} \end{array} P_2^\ell$$

satisfaisant  $s_1 s_2 = s_1 t_2, \quad t_1 s_2 = t_1 t_2$ .

- ▶  $P_0 = \{*\}, P_1 = \{1 : * \rightarrow *\}$ .

- ▶  $P_1^* \simeq \mathbb{N}$  (Nombre de brins).

- ▶  $P_2 = \left\{ \begin{array}{c} \diagup \quad \diagdown \\ \diagdown \quad \diagup \end{array} : 2 \rightarrow 2, \quad \begin{array}{c} \bullet \\ | \\ \bullet \end{array} : 1 \rightarrow 1 \right\}$

- ▶  $P_2^* = \{ \star_0, \star_1 \text{ compositions de points et croisements} \}$ .

- ▶  $P_2^\ell = \{ \mathbb{K} - \text{combinaisons linéaires de } P_2^* \}$

# Présentations de 2-catégories linéaires

- ▶ Les 2-catégories linéaires sont présentées par des **(3, 2)-polygraphes linéaires**, qui consistent en un quadruplet  $(P_0, P_1, P_2, P_3)$  avec :

- ▶  $(P_1, P_0)$  est un graphe orienté, avec applications source et but  $s_0, t_0$ .

- ▶  $P_1^*$ : 1-catégorie libre engendrée par  $(P_0, P_1)$ .

- ▶ **Extension cellulaire**

$$P_2 \begin{array}{c} \xrightarrow{s_1} \\ \xrightarrow{t_1} \end{array} P_1^*$$

satisfaisant des **relations globulaires** :

$$s_0 s_1 = s_0 t_1, \quad t_0 s_1 = t_0 t_1.$$

- ▶  $P_2^*$ : 2-catégorie libre sur  $(P_0, P_1, P_2)$ .

- ▶  $P_2^\ell$ : 2-catégorie linéaire libre sur  $(P_0, P_1, P_2)$ :

$$\forall x, y \in P_1^* : P_2^\ell(x, y) = \mathbb{K}[P_2^*(x, y)].$$

- ▶ Extension cellulaire

$$P_3 \begin{array}{c} \xrightarrow{s_2} \\ \xrightarrow{t_2} \end{array} P_2^\ell$$

satisfaisant  $s_1 s_2 = s_1 t_2, \quad t_1 s_2 = t_1 t_2$ .

- ▶  $P_0 = \{*\}, P_1 = \{1 : * \rightarrow *\}$ .

- ▶  $P_1^* \simeq \mathbb{N}$  (Nombre de brins).

- ▶  $P_2 = \{ \begin{array}{c} \diagup \quad \diagdown \\ \diagdown \quad \diagup \end{array} : 2 \rightarrow 2, \quad \bullet : 1 \rightarrow 1 \}$

- ▶  $P_2^* = \{ *0, *1 \text{ compositions de points et croisements} \}$ .

- ▶  $P_2^\ell = \{ \mathbb{K} - \text{combinaisons linéaires de } P_2^* \}$

- ▶  $P_3$  fixe une orientation des relations de la **2-catégorie linéaire présentée**, i.e.

$$P_2^\ell / \equiv_{P_3} .$$

- ▶ **Exemple** : Pour les algèbres nil Hecke,

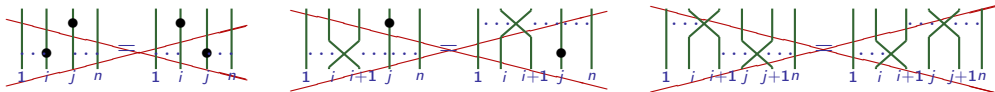
► **Exemple** : Pour les algèbres nil Hecke,

$$\begin{array}{c} | \\ \cdot \\ | \\ i \\ \cdot \\ | \\ j \\ \cdot \\ | \\ n \end{array} = \begin{array}{c} | \\ \cdot \\ | \\ i \\ \cdot \\ | \\ j \\ \cdot \\ | \\ n \end{array}$$

$$\begin{array}{c} | \\ | \\ | \\ \cdot \\ | \\ i \\ \cdot \\ | \\ i+1 \\ \cdot \\ | \\ j \\ \cdot \\ | \\ n \end{array} = \begin{array}{c} | \\ | \\ | \\ \cdot \\ | \\ i \\ \cdot \\ | \\ i+1 \\ \cdot \\ | \\ j \\ \cdot \\ | \\ n \end{array}$$

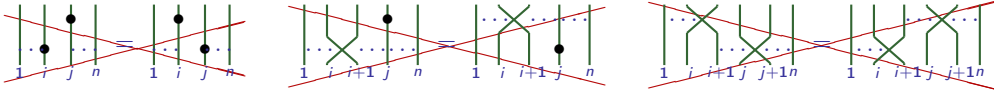
$$\begin{array}{c} | \\ | \\ | \\ \cdot \\ | \\ i \\ \cdot \\ | \\ i+1 \\ \cdot \\ | \\ j \\ \cdot \\ | \\ j+1 \\ \cdot \\ | \\ j+1+n \end{array} = \begin{array}{c} | \\ | \\ | \\ \cdot \\ | \\ i \\ \cdot \\ | \\ i+1 \\ \cdot \\ | \\ j \\ \cdot \\ | \\ j+1 \\ \cdot \\ | \\ j+1+n \end{array}$$

► **Exemple** : Pour les algèbres nil Hecke,



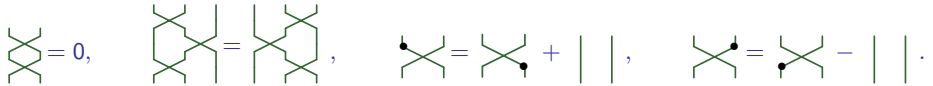
► Ce sont des relations d'échange, et n'ont pas besoin d'être prises en compte dans la 2-catégorie.

► **Exemple** : Pour les algèbres nil Hecke,



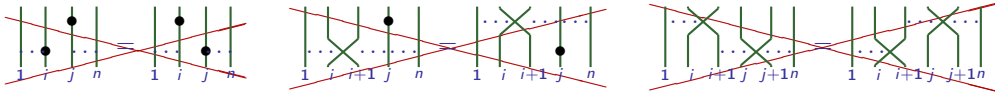
► Ce sont des relations d'échange, et n'ont pas besoin d'être prises en compte dans la 2-catégorie.

► Relations restantes :



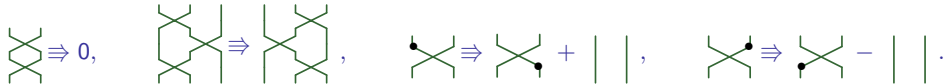
# Présentations de 2-catégories linéaires

► **Exemple** : Pour les algèbres nil Hecke,



► Ce sont des relations d'échange, et n'ont pas besoin d'être prises en compte dans la 2-catégorie.

► Relations restantes :



► Cette extension cellulaire définit un  $(3, 2)$ -polygraphe linéaire présentant une 2-catégorie linéaire  $\mathcal{C}$  telle que

$$\text{End}_{\mathcal{C}}(n) \simeq \mathcal{NH}_n$$

- ▶ Ce  $(3, 2)$ -polygraphe linéaire est **monomial à gauche**, *i.e.* toute source d'une 3-cellule est un monôme.
  - ▶ **Hypothèse** : Tous les  $(3, 2)$ -polygraphes linéaires considérés seront monomiaux à gauche.

- ▶ Ce  $(3, 2)$ -polygraphe linéaire est **monomial à gauche**, *i.e.* toute source d'une 3-cellule est un monôme.
  - ▶ **Hypothèse** : Tous les  $(3, 2)$ -polygraphes linéaires considérés seront monomiaux à gauche.
- ▶ Étant donné un  $(3, 2)$ -polygraphe linéaire  $P$ , les chemins de réécriture pour  $P$  sont interprétés comme des 3-cellules dans la  $(3, 2)$ -catégorie linéaire libre  $P_3^\ell$  engendrée par  $P$ .

## Étapes de réécriture

- ▶ Ce  $(3, 2)$ -polygraphe linéaire est **monomial à gauche**, i.e. toute source d'une 3-cellule est un monôme.
  - ▶ **Hypothèse** : Tous les  $(3, 2)$ -polygraphes linéaires considérés seront monomiaux à gauche.
- ▶ Étant donné un  $(3, 2)$ -polygraphe linéaire  $P$ , les chemins de réécriture pour  $P$  sont interprétés comme des 3-cellules dans la  $(3, 2)$ -catégorie linéaire libre  $P_3^\ell$  engendrée par  $P$ .
- ▶ Une **étape de réécriture** d'un  $(3, 2)$ -polygraphe linéaire est une 3-cellule de la forme

$$\begin{array}{c} \dots \\ \boxed{m_1} \\ \dots \\ \boxed{m_2} \quad \boxed{s_2(\alpha)} \quad \boxed{m_3} \\ \dots \\ \boxed{m_4} \\ \dots \end{array} + u \quad \Rightarrow \quad \begin{array}{c} \dots \\ \boxed{m_1} \\ \dots \\ \boxed{m_2} \quad \boxed{t_2(\alpha)} \quad \boxed{m_3} \\ \dots \\ \boxed{m_4} \\ \dots \end{array} + u$$

où  $\alpha \in P_3$ , et telle que  $m_1 \star_1 (m_2 \star_0 s_2(\alpha) \star_0 m_3) \star_1 m_4$  n'apparaît pas dans la décomposition monomiale de  $u$ .

## Étapes de réécriture

- ▶ Ce  $(3, 2)$ -polygraphe linéaire est **monomial à gauche**, i.e. toute source d'une 3-cellule est un monôme.
  - ▶ **Hypothèse** : Tous les  $(3, 2)$ -polygraphes linéaires considérés seront monomiaux à gauche.
- ▶ Étant donné un  $(3, 2)$ -polygraphe linéaire  $P$ , les chemins de réécriture pour  $P$  sont interprétés comme des 3-cellules dans la  $(3, 2)$ -catégorie linéaire libre  $P_3^\ell$  engendrée par  $P$ .
- ▶ Une **étape de réécriture** d'un  $(3, 2)$ -polygraphe linéaire est une 3-cellule de la forme

$$\begin{array}{c} \dots \\ \boxed{m_1} \\ \dots \\ \boxed{m_2} \quad \boxed{s_2(\alpha)} \quad \boxed{m_3} \\ \dots \\ \boxed{m_4} \\ \dots \end{array} + u \Rightarrow \begin{array}{c} \dots \\ \boxed{m_1} \\ \dots \\ \boxed{m_2} \quad \boxed{t_2(\alpha)} \quad \boxed{m_3} \\ \dots \\ \boxed{m_4} \\ \dots \end{array} + u$$

où  $\alpha \in P_3$ , et telle que  $m_1 \star_1 (m_2 \star_0 s_2(\alpha) \star_0 m_3) \star_1 m_4$  n'apparaît pas dans la décomposition monomiale de  $u$ .

- ▶ Cette condition permet d'éviter de la non-terminaison triviale: si il y a une règle  $u \Rightarrow v$ , alors  $-u \Rightarrow -v$ , et :

$$-u + (u + v) \Rightarrow -v + (u + v), \quad \text{i.e. } v \Rightarrow u.$$

## Étapes de réécriture

- ▶ Ce  $(3, 2)$ -polygraphe linéaire est **monomial à gauche**, i.e. toute source d'une 3-cellule est un monôme.
  - ▶ **Hypothèse** : Tous les  $(3, 2)$ -polygraphes linéaires considérés seront monomiaux à gauche.
- ▶ Étant donné un  $(3, 2)$ -polygraphe linéaire  $P$ , les chemins de réécriture pour  $P$  sont interprétés comme des 3-cellules dans la  $(3, 2)$ -catégorie linéaire libre  $P_3^\ell$  engendrée par  $P$ .
- ▶ Une **étape de réécriture** d'un  $(3, 2)$ -polygraphe linéaire est une 3-cellule de la forme

$$\begin{array}{c} \dots \\ \boxed{m_1} \\ \dots \\ \boxed{m_2} \quad \boxed{s_2(\alpha)} \quad \boxed{m_3} \\ \dots \\ \boxed{m_4} \\ \dots \end{array} + u \Rightarrow \begin{array}{c} \dots \\ \boxed{m_1} \\ \dots \\ \boxed{m_2} \quad \boxed{t_2(\alpha)} \quad \boxed{m_3} \\ \dots \\ \boxed{m_4} \\ \dots \end{array} + u$$

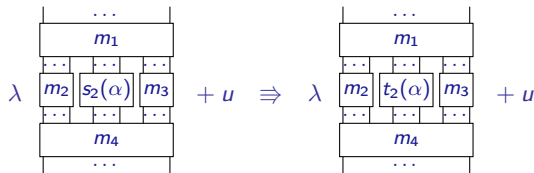
où  $\alpha \in P_3$ , et telle que  $m_1 \star_1 (m_2 \star_0 s_2(\alpha) \star_0 m_3) \star_1 m_4$  n'apparaît pas dans la décomposition monomiale de  $u$ .

- ▶ Cette condition permet d'éviter de la non-terminaison triviale: si il y a une règle  $u \Rightarrow v$ , alors  $-u \Rightarrow -v$ , et :

$$-u + (u + v) \not\Rightarrow -v + (u + v), \quad \text{i.e. } v \Rightarrow u.$$

# Étapes de réécriture

- ▶ Ce  $(3, 2)$ -polygraphe linéaire est **monomial à gauche**, i.e. toute source d'une 3-cellule est un monôme.
  - ▶ **Hypothèse** : Tous les  $(3, 2)$ -polygraphes linéaires considérés seront monomiaux à gauche.
- ▶ Étant donné un  $(3, 2)$ -polygraphe linéaire  $P$ , les chemins de réécriture pour  $P$  sont interprétés comme des 3-cellules dans la  $(3, 2)$ -catégorie linéaire libre  $P_3^\ell$  engendrée par  $P$ .
- ▶ Une **étape de réécriture** d'un  $(3, 2)$ -polygraphe linéaire est une 3-cellule de la forme



où  $\alpha \in P_3$ , et telle que  $m_1 \star_1 (m_2 \star_0 s_2(\alpha) \star_0 m_3) \star_1 m_4$  n'apparaît pas dans la décomposition monomiale de  $u$ .

- ▶ Cette condition permet d'éviter de la non-terminaison triviale: si il y a une règle  $u \Rightarrow v$ , alors  $-u \Rightarrow -v$ , et :

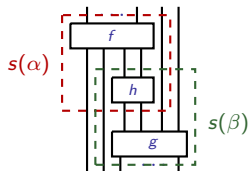
$$-u + (u + v) \not\Rightarrow -v + (u + v), \quad \text{i.e. } v \Rightarrow u.$$

- ▶ **Lemme de Newman** : Si  $P$  termine, il est confluent ssi il est localement confluent.

- ▶ **Branchements critiques** de  $(3, 2)$ -polygraphes linéaires : branchements locaux sur des diagrammes de cordes minimaux.

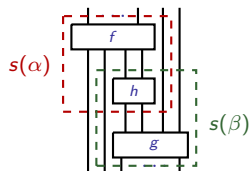
- ▶ **Branchements critiques** de  $(3, 2)$ -polygraphes linéaires : branchements locaux sur des diagrammes de cordes minimaux.

- ▶ **Réguliers** :



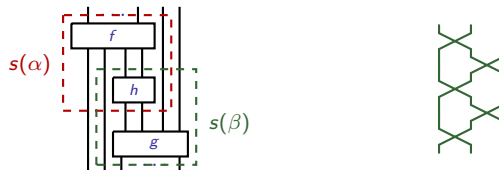
- ▶ **Branchements critiques** de  $(3, 2)$ -polygraphes linéaires : branchements locaux sur des diagrammes de cordes minimaux.

- ▶ **Réguliers** :

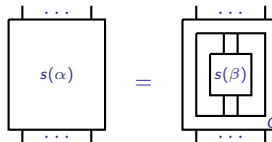


- **Branchements critiques** de  $(3, 2)$ -polygraphes linéaires : branchements locaux sur des diagrammes de cordes minimaux.

- **Réguliers** :

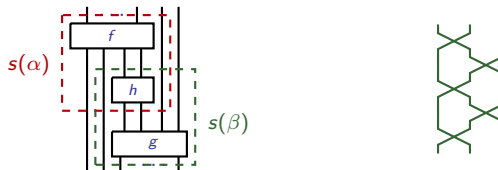


- **Inclusion** :

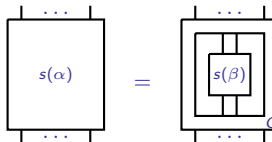


- **Branchements critiques** de  $(3, 2)$ -polygraphes linéaires : branchements locaux sur des diagrammes de cordes minimaux.

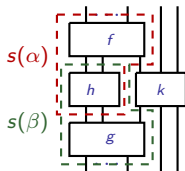
- **Réguliers** :



- **Inclusion** :

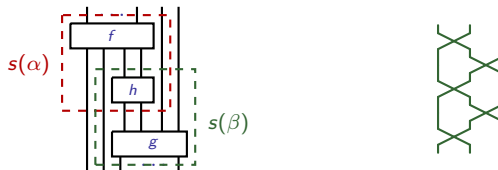


- **Indexés à droite** (aussi **indexés à gauche**, **multi-indexés**) :

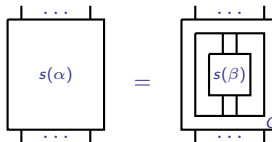


- **Branchements critiques** de  $(3, 2)$ -polygraphes linéaires : branchements locaux sur des diagrammes de cordes minimaux.

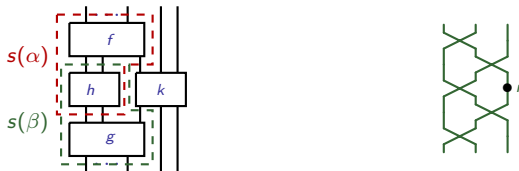
- **Réguliers** :



- **Inclusion** :



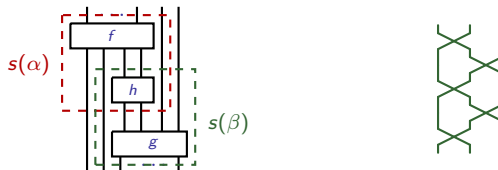
- **Indexés à droite** (aussi **indexés à gauche**, **multi-indexés**) :



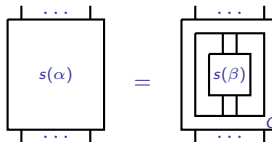
# Branchements critiques

- **Branchements critiques** de  $(3, 2)$ -polygraphes linéaires : branchements locaux sur des diagrammes de cordes minimaux.

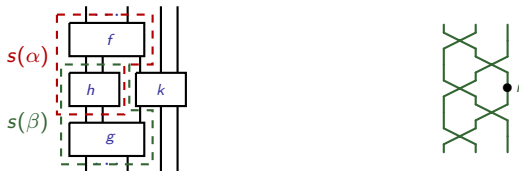
- **Réguliers** :



- **Inclusion** :



- **Indexés à droite** (aussi **indexés à gauche**, **multi-indexés**) :



- **Lemme des branchements critiques** : Un  $(3, 2)$ -polygraphe linéaire **terminant** est localement confluent ssi tous ses branchements critiques sont confluents.

- ▶ Soit  $P$   $(3, 2)$ -polygraphe linéaire monomial à gauche et convergent.

- ▶ Soit  $P$   $(3, 2)$ -polygraphe linéaire monomial à gauche et convergent.
- ▶ Soit  $\mathcal{C}$  la 2-catégorie linéaire présentée par  $P$ .

- ▶ Soit  $P$   $(3, 2)$ -polygraphe linéaire monomial à gauche et convergent.
- ▶ Soit  $\mathcal{C}$  la 2-catégorie linéaire présentée par  $P$ .
- ▶ **Théorème [Alleaume '16]** : Pour toutes 1-cellules parallèles  $p, q$  de  $\mathcal{C}$ , l'ensemble des monomes en forme normale pour  $P$  avec 1-source  $p$  et 1-but  $q$  est une base linéaire de  $\mathcal{C}_2(p, q)$ .

- ▶ Soit  $P$   $(3, 2)$ -polygraphe linéaire monomial à gauche et convergent.
- ▶ Soit  $\mathcal{C}$  la 2-catégorie linéaire présentée par  $P$ .
- ▶ **Théorème [Alleaume '16]** : Pour toutes 1-cellules parallèles  $p, q$  de  $\mathcal{C}$ , l'ensemble des monomes en forme normale pour  $P$  avec 1-source  $p$  et 1-but  $q$  est une base linéaire de  $\mathcal{C}_2(p, q)$ .
  - ▶ Terminaison: les monômes en forme normale engendrent  $\mathcal{C}_2(p, q)$ .

- ▶ Soit  $P$   $(3, 2)$ -polygraphe linéaire monomial à gauche et convergent.
- ▶ Soit  $\mathcal{C}$  la 2-catégorie linéaire présentée par  $P$ .
- ▶ **Théorème [Alleaume '16]** : Pour toutes 1-cellules parallèles  $p, q$  de  $\mathcal{C}$ , l'ensemble des monômes en forme normale pour  $P$  avec 1-source  $p$  et 1-but  $q$  est une base linéaire de  $\mathcal{C}_2(p, q)$ .
  - ▶ Terminaison: les monômes en forme normale engendrent  $\mathcal{C}_2(p, q)$ .
  - ▶ Confluence: si une 2-cellule se réduit en deux combinaisons linéaires de monômes en forme normale, elles sont égales puisque  $P$  est monomial à gauche.

## Exemple: algèbres de Hecke carquois (Khovanov-Lauda-Rouquier)

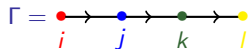
---

- ▶ Ces algèbres apparaissent dans le processus de catégorification d'un groupe quantique  $U_q(\mathfrak{g})$  associé à une algèbre de Kac-Moody symétrisable  $\mathfrak{g}$ .

## Exemple: algèbres de Hecke carquois (Khovanov-Lauda-Rouquier)

---

- ▶ Ces algèbres apparaissent dans le processus de catégorification d'un groupe quantique  $U_q(\mathfrak{g})$  associé à une algèbre de Kac-Moody symétrisable  $\mathfrak{g}$ .
- ▶ Soit  $\Gamma$  le graphe de Dynkin de  $\mathfrak{g}$ , avec ensemble de sommets  $I$ , vus comme des couleurs:



## Exemple: algèbres de Hecke carquois (Khovanov-Lauda-Rouquier)

---

- ▶ Ces algèbres apparaissent dans le processus de catégorification d'un groupe quantique  $U_q(\mathfrak{g})$  associé à une algèbre de Kac-Moody symétrisable  $\mathfrak{g}$ .
- ▶ Soit  $\Gamma$  le graphe de Dynkin de  $\mathfrak{g}$ , avec ensemble de sommets  $I$ , vus comme des couleurs:

$$\Gamma = \begin{array}{ccccccc} & & \rightarrow & & \rightarrow & & \rightarrow \\ & \bullet & & \bullet & & \bullet & & \bullet \\ & i & & j & & k & & l \end{array} \quad (\Gamma \text{ simplement lacé})$$

## Exemple: algèbres de Hecke carquois (Khovanov-Lauda-Rouquier)

- ▶ Ces algèbres apparaissent dans le processus de catégorification d'un groupe quantique  $U_q(\mathfrak{g})$  associé à une algèbre de Kac-Moody symétrisable  $\mathfrak{g}$ .

- ▶ Soit  $\Gamma$  le graphe de Dynkin de  $\mathfrak{g}$ , avec ensemble de sommets  $I$ , vus comme des couleurs:



- ▶ Soit  $\mathcal{V} = \sum_{i \in I} \nu_i \cdot i$  un élément de  $\mathbb{N}[I]$ , on considère l'ensemble  $\text{Seq}(\mathcal{V})$  des suites d'éléments de  $\Gamma$  où  $i$  apparaît  $\nu_i$  fois.

## Exemple: algèbres de Hecke carquois (Khovanov-Lauda-Rouquier)

- ▶ Ces algèbres apparaissent dans le processus de catégorification d'un groupe quantique  $U_q(\mathfrak{g})$  associé à une algèbre de Kac-Moody symétrisable  $\mathfrak{g}$ .

- ▶ Soit  $\Gamma$  le graphe de Dynkin de  $\mathfrak{g}$ , avec ensemble de sommets  $I$ , vus comme des couleurs:



- ▶ Soit  $\mathcal{V} = \sum_{i \in I} \nu_i \cdot i$  un élément de  $\mathbb{N}[I]$ , on considère l'ensemble  $\text{Seq}(\mathcal{V})$  des suites d'éléments de  $\Gamma$  où  $i$  apparaît  $\nu_i$  fois.

- ▶ **Exemple:**  $\text{Seq}(2i + k) = \{iik, iki, kii\}$

## Exemple: algèbres de Hecke carquois (Khovanov-Lauda-Rouquier)

- ▶ Ces algèbres apparaissent dans le processus de catégorification d'un groupe quantique  $U_q(\mathfrak{g})$  associé à une algèbre de Kac-Moody symétrisable  $\mathfrak{g}$ .

- ▶ Soit  $\Gamma$  le graphe de Dynkin de  $\mathfrak{g}$ , avec ensemble de sommets  $I$ , vus comme des couleurs:



- ▶ Soit  $\mathcal{V} = \sum_{i \in I} \nu_i \cdot i$  un élément de  $\mathbb{N}[I]$ , on considère l'ensemble  $\text{Seq}(\mathcal{V})$  des suites d'éléments de  $\Gamma$  où  $i$  apparaît  $\nu_i$  fois.

▶ **Exemple:**  $\text{Seq}(2i + k) = \{iik, iki, kii\}$

- ▶ Pour un tel  $\mathcal{V}$ , on définit une algèbre  $R(\mathcal{V})$ .

- ▶ **Théorème [Khovanov-Lauda '08]** : Si  $R = \bigoplus_{\mathcal{V} \in \mathbb{N}[I]} R(\mathcal{V})$ ,

$$K_0(R - \text{pmod}) \simeq U_q^-(\mathfrak{g})$$

- ▶ Pour  $i = i_1 \dots i_m \in \text{Seq}(\mathcal{V})$ ,  $R(\mathcal{V})$  est engendrée par

► Pour  $i = i_1 \dots i_m \in \text{Seq}(\mathcal{V})$ ,  $R(\mathcal{V})$  est engendrée par

$$X_{k,i} = \begin{array}{c} | \quad \dots \quad | \quad \dots \quad | \\ i_1 \quad \quad i_k \quad \quad i_m \end{array} \quad \text{et} \quad T_{k,i} = \begin{array}{c} | \quad \quad \quad | \\ \quad \quad \quad \diagdown \quad \diagup \\ \quad \quad \quad i_k \quad i_{k+1} \\ \quad \quad \quad \diagup \quad \diagdown \\ | \quad \quad \quad | \\ i_1 \quad \quad \quad i_m \end{array}$$

► Pour  $i = i_1 \dots i_m \in \text{Seq}(\mathcal{V})$ ,  $R(\mathcal{V})$  est engendrée par

$$X_{k,i} = \begin{array}{c} | \dots | \bullet \dots | \\ i_1 \quad i_k \quad i_m \end{array} \quad \text{et} \quad T_{k,i} = \begin{array}{c} | \dots | \diagdown \diagup \dots | \\ i_1 \quad i_k \quad i_{k+1} \quad i_m \end{array}$$

► Relations:

i) Même couleur:

$$\begin{array}{c} \diagdown \diagup \\ \diagup \diagdown \end{array} = 0 \quad \begin{array}{c} \bullet \\ \diagdown \diagup \end{array} = \begin{array}{c} \diagdown \diagup \\ \bullet \end{array} + \begin{array}{c} | \\ | \end{array}, \quad \begin{array}{c} \diagdown \diagup \\ \bullet \end{array} = \begin{array}{c} \bullet \\ \diagup \diagdown \end{array} - \begin{array}{c} | \\ | \end{array}$$

ii) Couleurs distantes :

$$\begin{array}{c} \diagdown \diagup \\ \diagup \diagdown \end{array} = \begin{array}{c} | \\ | \end{array}$$

iii) Couleurs proches :

$$\begin{array}{c} \diagdown \diagup \\ \bullet \end{array} = \begin{array}{c} | \\ | \end{array} + \begin{array}{c} \bullet \\ | \end{array}$$

iv) Couleurs différentes :

$$\begin{array}{c} \diagdown \diagup \\ \bullet \end{array} = \begin{array}{c} \bullet \\ \diagdown \diagup \end{array} \quad \begin{array}{c} \bullet \\ \diagdown \diagup \end{array} = \begin{array}{c} \diagdown \diagup \\ \bullet \end{array}$$

vi) Relations de "tresses"

$$\begin{array}{c} \diagdown \diagup \\ \diagup \diagdown \end{array} = \begin{array}{c} \diagup \diagdown \\ \diagdown \diagup \end{array} + \begin{array}{c} | \\ | \end{array} \quad \text{et sinon} \quad \begin{array}{c} \diagdown \diagup \\ \diagup \diagdown \end{array} = \begin{array}{c} \diagup \diagdown \\ \diagdown \diagup \end{array}$$

► Pour  $i = i_1 \dots i_m \in \text{Seq}(\mathcal{V})$ ,  $R(\mathcal{V})$  est engendrée par

$$X_{k,i} = \begin{array}{c} | \dots | \bullet \dots | \\ i_1 \quad i_k \quad i_m \end{array} \quad \text{et} \quad T_{k,i} = \begin{array}{c} | \dots | \diagdown \diagup \dots | \\ i_1 \quad i_k \quad i_{k+1} \quad i_m \end{array}$$

► Relations:

i) Même couleur:

$$\begin{array}{c} \diagup \diagdown \\ \diagdown \diagup \end{array} \Rightarrow 0 \quad \begin{array}{c} \bullet \\ \diagdown \diagup \end{array} \Rightarrow \begin{array}{c} \diagdown \diagup \\ \bullet \end{array} + \begin{array}{c} | \\ | \end{array} \quad , \quad \begin{array}{c} \diagdown \diagup \\ \bullet \end{array} \Rightarrow \begin{array}{c} \bullet \\ \diagdown \diagup \end{array} - \begin{array}{c} | \\ | \end{array}$$

ii) Couleurs distantes :

$$\begin{array}{c} \diagup \diagdown \\ \diagdown \diagup \end{array} \Rightarrow \begin{array}{c} | \\ | \end{array}$$

iii) Couleurs proches :

$$\begin{array}{c} \diagdown \diagup \\ \bullet \end{array} \Rightarrow \begin{array}{c} \bullet \\ | \end{array} + \begin{array}{c} | \\ \bullet \end{array}$$

iv) Couleurs différentes :

$$\begin{array}{c} \bullet \\ \diagdown \diagup \end{array} \Rightarrow \begin{array}{c} \diagdown \diagup \\ \bullet \end{array} \quad \begin{array}{c} \diagdown \diagup \\ \bullet \end{array} \Rightarrow \begin{array}{c} \bullet \\ \diagdown \diagup \end{array}$$

vi) Relations de "tresses"

$$\begin{array}{c} \diagdown \diagup \\ \diagdown \diagup \end{array} \Rightarrow \begin{array}{c} \diagdown \diagup \\ \diagdown \diagup \end{array} + \begin{array}{c} | \\ | \end{array} \quad \text{et sinon} \quad \begin{array}{c} \diagdown \diagup \\ \diagdown \diagup \end{array} \Rightarrow \begin{array}{c} \diagdown \diagup \\ \diagdown \diagup \end{array}$$

- ▶ **Théorème [D. '17]:** Ce  $(3, 2)$ -polygraphe linéaire est convergent.

- ▶ **Théorème [D. '17]:** Ce  $(3, 2)$ -polygraphe linéaire est convergent.
- ▶ Idée pour la terminaison: le nombre de croisements diminue, les permutations sont ajustées à gauche, et les points descendent en bas des brins.

- ▶ **Théorème [D. '17]:** Ce  $(3, 2)$ -polygraphe linéaire est convergent.
  - ▶ Idée pour la terminaison: le nombre de croisements diminue, les permutations sont ajustées à gauche, et les points descendent en bas des brins.
  - ▶ Confluence: étude exhaustive de tous les branchements critiques.

► **Théorème [D. '17]:** Ce  $(3, 2)$ -polygraphe linéaire est convergent.

- Idée pour la terminaison: le nombre de croisements diminue, les permutations sont ajustées à gauche, et les points descendent en bas des brins.
- Confluence: étude exhaustive de tous les branchements critiques.



► **Théorème [D. '17]:** Ce  $(3, 2)$ -polygraphe linéaire est convergent.

- Idée pour la terminaison: le nombre de croisements diminue, les permutations sont ajustées à gauche, et les points descendent en bas des brins.
- Confluence: étude exhaustive de tous les branchements critiques.



► **Théorème [D. '17]:** Ce  $(3, 2)$ -polygraphe linéaire est convergent.

- Idée pour la terminaison: le nombre de croisements diminue, les permutations sont ajustées à gauche, et les points descendent en bas des brins.
- Confluence: étude exhaustive de tous les branchements critiques.



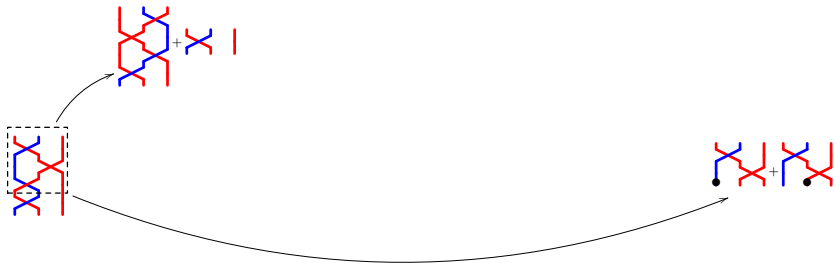
► **Théorème [D. '17]:** Ce  $(3, 2)$ -polygraphe linéaire est convergent.

- Idée pour la terminaison: le nombre de croisements diminue, les permutations sont ajustées à gauche, et les points descendent en bas des brins.
- Confluence: étude exhaustive de tous les branchements critiques.



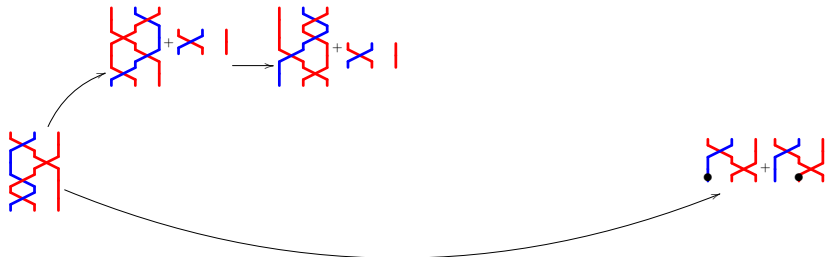
► **Théorème [D. '17]:** Ce  $(3, 2)$ -polygraphe linéaire est convergent.

- Idée pour la terminaison: le nombre de croisements diminue, les permutations sont ajustées à gauche, et les points descendent en bas des brins.
- Confluence: étude exhaustive de tous les branchements critiques.



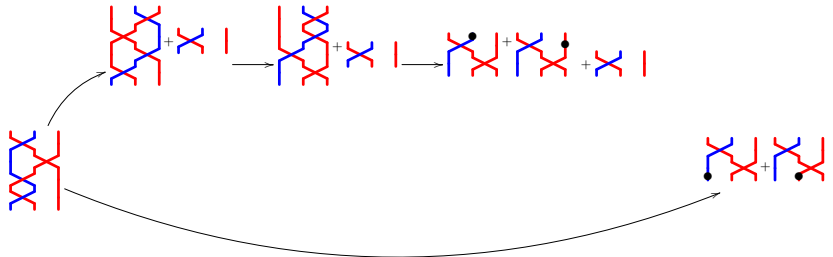
► **Théorème [D. '17]:** Ce  $(3, 2)$ -polygraphe linéaire est convergent.

- Idée pour la terminaison: le nombre de croisements diminue, les permutations sont ajustées à gauche, et les points descendent en bas des brins.
- Confluence: étude exhaustive de tous les branchements critiques.



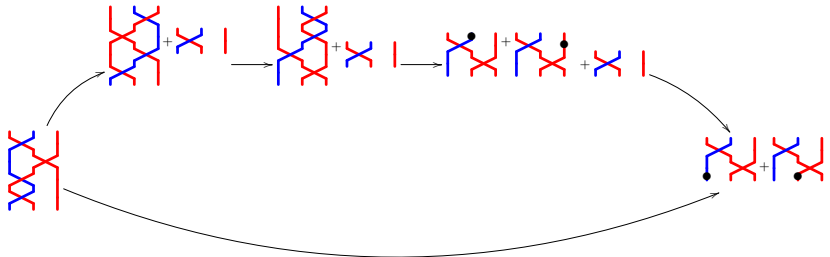
► **Théorème [D. '17]:** Ce  $(3, 2)$ -polygraphe linéaire est convergent.

- Idée pour la terminaison: le nombre de croisements diminue, les permutations sont ajustées à gauche, et les points descendent en bas des brins.
- Confluence: étude exhaustive de tous les branchements critiques.



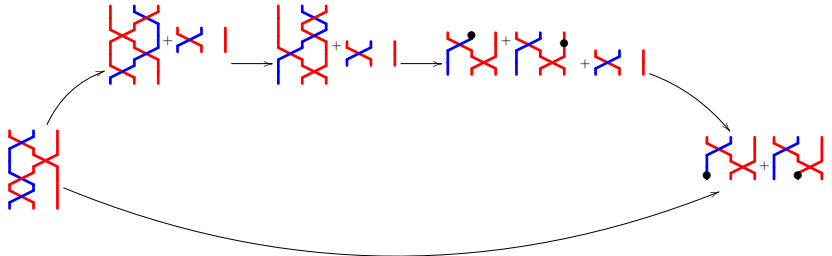
► **Théorème [D. '17]:** Ce  $(3, 2)$ -polygraphe linéaire est convergent.

- Idée pour la terminaison: le nombre de croisements diminue, les permutations sont ajustées à gauche, et les points descendent en bas des brins.
- Confluence: étude exhaustive de tous les branchements critiques.



► **Théorème [D. '17]:** Ce  $(3, 2)$ -polygraphe linéaire est convergent.

- Idée pour la terminaison: le nombre de croisements diminue, les permutations sont ajustées à gauche, et les points descendent en bas des brins.
- Confluence: étude exhaustive de tous les branchements critiques.



► **Corollaire [Khovanov - Lauda '08] :** Les diagrammes de  $R(\mathcal{V})$  correspondant à des permutations ajustées à gauche et minimales pour la présentation de Coxeter de  $\mathcal{S}_m$  ( $m = |\mathcal{V}| = \sum_{i \in I} \nu_i$ ) et les points en bas des brins donnent une base de  $R(\mathcal{V})$ .

► **Idée de la construction:**

- Chaque 2-cellule est vue comme un circuit électronique dont les composants sont les 2-cellules génératrices.
- Chaque générateur reçoit une certaine intensité de courants ascendants et descendants, calculés à l'aide de fonctions  $X$  et  $Y$  étendues fonctoriellement.

## ► Idée de la construction:

- Chaque 2-cellule est vue comme un circuit électronique dont les composants sont les 2-cellules génératrices.
- Chaque générateur reçoit une certaine intensité de courants ascendants et descendants, calculés à l'aide de fonctions  $X$  et  $Y$  étendues fonctoriellement.
- Chaque 2-cellule produit de la chaleur, calculée par la somme des chaleurs produites par ses composants, dépendant de l'intensité des courants qu'ils reçoivent.
- Les chaleurs sont calculées par des dérivations  $d$ .
- Deux circuits sont comparés par la chaleur qu'ils produisent en recevant les mêmes intensités de courant

$$f \prec g \text{ ssi } d(f) < d(g) \quad (\text{resp. } f \prec g \text{ ssi } d(f) < d(h) \text{ for any monomial } h \text{ in } g.)$$

## ► Idée de la construction:

- Chaque 2-cellule est vue comme un circuit électronique dont les composants sont les 2-cellules génératrices.
- Chaque générateur reçoit une certaine intensité de courants ascendants et descendants, calculés à l'aide de fonctions  $X$  et  $Y$  étendues fonctoriellement.
- Chaque 2-cellule produit de la chaleur, calculée par la somme des chaleurs produites par ses composants, dépendant de l'intensité des courants qu'ils reçoivent.
- Les chaleurs sont calculées par des dérivations  $d$ .
- Deux circuits sont comparés par la chaleur qu'ils produisent en recevant les mêmes intensités de courant

$$f \prec g \text{ ssi } d(f) < d(g) \quad (\text{resp. } f \prec g \text{ ssi } d(f) < d(h) \text{ for any monomial } h \text{ in } g.)$$

## ► Théorème [Guiraud-Malbos '09] : Soit $P$ un $(3, 2)$ -polygraphe linéaire. Si il existe :

- Deux 2-foncteurs  $X : P_2^* \rightarrow \mathbf{Ord}$  et  $Y : (P_2^*)^{\text{op}} \rightarrow \mathbf{Ord}$  t.q. pour toute 1-cellule  $p \in P_1$ , les ensembles  $X(p)$  et  $Y(p)$  sont non vides, et pour toute 3-cellule génératrice  $\alpha$  de  $P_3$ , les inégalités  $X(s_2(\alpha)) \geq X(h)$  et  $Y(s_2(\alpha)) \geq Y(h)$  sont satisfaites pour tout monôme  $h$  de  $t_2(\alpha)$ .
- Un groupe abélien  $G$  de  $\mathbf{Ord}$  dont l'addition est strictement monotone en les deux arguments, et telle que tout suite décroissante déléments non-négatifs de  $G$  est stationnaire.
- Une dérivation  $P_2^*$  à valeurs dans un  $P_2^*$ -module  $M_{X,Y,G}$  telle que pour toute 2-cellule  $u \in P_2^*$ , on a  $d(u) \geq 0$ , et pour toute 3-cellule génératrice  $\alpha$  de  $P_3$ ,  $d(s_2(\alpha)) > d(h)$  pour tout monôme  $h$  dans  $t_2(\alpha)$ .

Alors, le  $(3, 2)$ -polygraphe linéaire  $P$  termine.

### III. Réécriture modulo isotopies dans des catégories pivotales

## 2-catégories linéaires pivotales

- Soit  $\mathcal{C}$  une 2-catégorie linéaire. Si  $p$  est 1-cellule, un **adjoint à gauche** de  $p$  est une 1-cellule  $\hat{p}$  telle qu'il existe des 2-cellules

$$\eta_p : 1 \Rightarrow p \star_0 \hat{p}, \quad \varepsilon_p : \hat{p} \star_0 p \Rightarrow 1, \quad \begin{array}{c} p \\ \text{ } \\ \hat{p} \end{array}, \quad \begin{array}{c} \hat{p} \\ \text{ } \\ p \end{array} \quad \text{t.q.} \quad \begin{array}{c} \text{ } \\ \text{ } \\ \hat{p} \end{array} = \begin{array}{c} \text{ } \\ \text{ } \\ \hat{p} \end{array}, \quad \begin{array}{c} \text{ } \\ \text{ } \\ p \end{array} = \begin{array}{c} \text{ } \\ \text{ } \\ p \end{array}.$$

## 2-catégories linéaires pivotales

- Soit  $\mathcal{C}$  une 2-catégorie linéaire. Si  $p$  est 1-cellule, un **adjoint à gauche** de  $p$  est une 1-cellule  $\hat{p}$  telle qu'il existe des 2-cellules

$$\eta_p : 1 \Rightarrow p \star_0 \hat{p}, \quad \varepsilon_p : \hat{p} \star_0 p \Rightarrow 1, \quad \begin{array}{c} p \\ \cup \\ \hat{p} \end{array}, \quad \begin{array}{c} \hat{p} \\ \cup \\ p \end{array} \quad \text{t.q.} \quad \begin{array}{c} \cup \\ \hat{p} \end{array} = \left| \right., \quad \begin{array}{c} \cup \\ p \end{array} = : \left| \right. .$$

- Si  $\hat{p}$  est de plus un **adjoint à droite** de  $p$ , on dit qu'ils sont **biadjoints** et on a aussi

$$\begin{array}{c} \hat{p} \\ \cup \\ p \end{array}, \quad \begin{array}{c} p \\ \cup \\ \hat{p} \end{array} \quad \text{s.t.} \quad \begin{array}{c} \cup \\ p \end{array} = \left| \right., \quad \begin{array}{c} \cup \\ \hat{p} \end{array} = : \left| \right. .$$

## 2-catégories linéaires pivotales

- Soit  $\mathcal{C}$  une 2-catégorie linéaire. Si  $p$  est 1-cellule, un **adjoint à gauche** de  $p$  est une 1-cellule  $\hat{p}$  telle qu'il existe des 2-cellules

$$\eta_p : 1 \Rightarrow p \star_0 \hat{p}, \quad \varepsilon_p : \hat{p} \star_0 p \Rightarrow 1, \quad \begin{array}{c} p \\ \hat{p} \end{array}, \quad \begin{array}{c} \hat{p} \\ p \end{array} \quad \text{t.q.} \quad \begin{array}{c} \hat{p} \\ p \end{array} = \left| \begin{array}{c} \hat{p} \\ p \end{array} \right., \quad \begin{array}{c} p \\ \hat{p} \end{array} = : \left| \begin{array}{c} p \\ \hat{p} \end{array} \right.$$

- Si  $\hat{p}$  est de plus un **adjoint à droite** de  $p$ , on dit qu'ils sont **bijoints** et on a aussi

$$\begin{array}{c} \hat{p} \\ p \end{array}, \quad \begin{array}{c} p \\ \hat{p} \end{array} \quad \text{s.t.} \quad \begin{array}{c} p \\ \hat{p} \end{array} = \left| \begin{array}{c} p \\ \hat{p} \end{array} \right., \quad \begin{array}{c} \hat{p} \\ p \end{array} = : \left| \begin{array}{c} \hat{p} \\ p \end{array} \right.$$

- Une 2-cellule  $u : p \Rightarrow \hat{q}$  est **cyclique** relativement à une biadjonction  $(p, \hat{p}), (q, \hat{q})$  si

$$\begin{array}{c} \hat{p} \\ \hat{q} \end{array} \quad \begin{array}{c} \hat{p} \\ \hat{q} \end{array} \quad := \quad \begin{array}{c} \hat{p} \\ \hat{q} \end{array} \quad \begin{array}{c} \hat{p} \\ \hat{q} \end{array}$$

## 2-catégories linéaires pivotales

- ▶ Soit  $\mathcal{C}$  une 2-catégorie linéaire. Si  $p$  est 1-cellule, un **adjoint à gauche** de  $p$  est une 1-cellule  $\hat{p}$  telle qu'il existe des 2-cellules

$$\eta_p : 1 \Rightarrow p \star_0 \hat{p}, \quad \varepsilon_p : \hat{p} \star_0 p \Rightarrow 1, \quad \begin{array}{c} p \\ \hat{p} \end{array}, \quad \begin{array}{c} \hat{p} \\ p \end{array} \quad \text{t.q.} \quad \begin{array}{c} \text{U} \\ \hat{p} \end{array} = \begin{array}{c} | \\ \hat{p} \end{array}, \quad \begin{array}{c} \text{U} \\ p \end{array} = \begin{array}{c} | \\ p \end{array}.$$

- ▶ Si  $\hat{p}$  est de plus un **adjoint à droite** de  $p$ , on dit qu'ils sont **biadjoints** et on a aussi

$$\begin{array}{c} \hat{p} \\ p \end{array}, \quad \begin{array}{c} p \\ \hat{p} \end{array} \quad \text{s.t.} \quad \begin{array}{c} \text{U} \\ p \end{array} = \begin{array}{c} | \\ p \end{array}, \quad \begin{array}{c} \text{U} \\ \hat{p} \end{array} = \begin{array}{c} | \\ \hat{p} \end{array}.$$

- ▶ Une 2-cellule  $u : p \Rightarrow q$  est **cyclique** relativement à une biadjonction  $(p, \hat{p}), (q, \hat{q})$  si

$$\begin{array}{c} \hat{p} \\ \downarrow \\ \text{U} \\ \downarrow \\ \hat{q} \end{array} \quad \begin{array}{c} \hat{p} \\ \downarrow \\ \text{U} \\ \downarrow \\ \hat{q} \end{array} = \begin{array}{c} \hat{p} \\ \downarrow \\ \text{U} \\ \downarrow \\ \hat{q} \end{array} := \begin{array}{c} \hat{p} \\ \downarrow \\ \text{U} \\ \downarrow \\ \hat{q} \end{array}.$$

- ▶ **Fait** : Deux diagrammes de cordes égaux à isotopie près représentent la même 2-cellule.

## 2-catégories linéaires pivotales

- ▶ Soit  $\mathcal{C}$  une 2-catégorie linéaire. Si  $p$  est 1-cellule, un **adjoint à gauche** de  $p$  est une 1-cellule  $\hat{p}$  telle qu'il existe des 2-cellules

$$\eta_p : 1 \Rightarrow p \star_0 \hat{p}, \quad \varepsilon_p : \hat{p} \star_0 p \Rightarrow 1, \quad \begin{array}{c} p \\ \curvearrowright \\ \hat{p} \end{array}, \quad \begin{array}{c} \hat{p} \\ \curvearrowright \\ p \end{array} \quad \text{t.q.} \quad \begin{array}{c} \text{ } \\ \text{ } \\ \hat{p} \end{array} = \begin{array}{c} | \\ | \\ \hat{p} \end{array}, \quad \begin{array}{c} \text{ } \\ \text{ } \\ p \end{array} = \begin{array}{c} | \\ | \\ p \end{array}.$$

- ▶ Si  $\hat{p}$  est de plus un **adjoint à droite** de  $p$ , on dit qu'ils sont **biaadjoints** et on a aussi

$$\begin{array}{c} \hat{p} \\ \curvearrowright \\ p \end{array}, \quad \begin{array}{c} p \\ \curvearrowright \\ \hat{p} \end{array} \quad \text{s.t.} \quad \begin{array}{c} \text{ } \\ \text{ } \\ p \end{array} = \begin{array}{c} | \\ | \\ p \end{array}, \quad \begin{array}{c} \text{ } \\ \text{ } \\ \hat{p} \end{array} = \begin{array}{c} | \\ | \\ \hat{p} \end{array}.$$

- ▶ Une 2-cellule  $u : p \Rightarrow q$  est **cyclique** relativement à une biadjonction  $(p, \hat{p}), (q, \hat{q})$  si

$$\begin{array}{c} \hat{p} \\ \downarrow \\ \text{ } \\ \downarrow \\ \hat{q} \end{array} \quad \begin{array}{c} \text{ } \\ \text{ } \\ u \end{array} \quad \begin{array}{c} \text{ } \\ \text{ } \\ \hat{p} \end{array} = \begin{array}{c} \text{ } \\ \text{ } \\ u \end{array} \quad \begin{array}{c} \text{ } \\ \text{ } \\ \hat{q} \end{array} = \begin{array}{c} \hat{p} \\ \downarrow \\ u \\ \downarrow \\ \hat{q} \end{array}.$$

- ▶ **Fait** : Deux diagrammes de cordes égaux à isotopie près représentent la même 2-cellule.
- ▶ **Difficulté 1** : Si une 2-catégorie linéaire pivotale admet des **relations 'bubble slide'**, elle ne peut être présentée par un polygraphe terminant :

$$\lambda^{-1} \bullet \curvearrowright \curvearrowright \Rightarrow \lambda^{-1} \bullet \curvearrowright \curvearrowright \Rightarrow \curvearrowright \lambda^{-1} \bullet \curvearrowright = \lambda^{-1} \bullet \curvearrowright \curvearrowright$$

- ▶ On considère des systèmes de réécriture **quasi-terminants**, i.e. terminants à cycles de réécriture près.

## Réécriture modulo isotopie

---

- ▶ **Difficulté 2** : Certaines relations sont déduites d'autres relations par une transformation par isotopie.
  - ▶ Pour éviter d'orienter trop de relations, on réécrit **modulo isotopie**.
  - ▶ On scinde les règles en deux parties: un ensemble  $E$  d'équations non orientées et un ensemble  $R$  de relations orientées.

- ▶ **Difficulté 2** : Certaines relations sont déduites d'autres relations par une transformation par isotopie.
  - ▶ Pour éviter d'orienter trop de relations, on réécrit **modulo isotopie**.
  - ▶ On scinde les règles en deux parties: un ensemble  $E$  d'équations non orientées et un ensemble  $R$  de relations orientées.
  - ▶ Facilite l'analyse de la confluence de certains branchements.
  - ▶ Réduit le nombre de branchements à considérer.

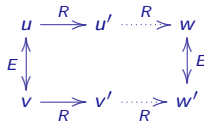
- ▶ **Difficulté 2** : Certaines relations sont déduites d'autres relations par une transformation par isotopie.
  - ▶ Pour éviter d'orienter trop de relations, on réécrit **modulo isotopie**.
  - ▶ On scinde les règles en deux parties: un ensemble  $E$  d'équations non orientées et un ensemble  $R$  de relations orientées.
  - ▶ Facilite l'analyse de la confluence de certains branchements.
  - ▶ Réduit le nombre de branchements à considérer.
  - ▶ Cependant, peut être source de nouveaux cycles de réécriture, et les branchements critiques sont plus durs à lister, puisqu'ils correspondent à des applications de relations orientées sur deux diagrammes égaux à isotopie près.



- **Difficulté 2** : Certaines relations sont déduites d'autres relations par une transformation par isotopie.
  - Pour éviter d'orienter trop de relations, on réécrit **modulo isotopie**.
  - On scinde les règles en deux parties: un ensemble  $E$  d'équations non orientées et un ensemble  $R$  de relations orientées.
  - Facilite l'analyse de la confluence de certains branchements.
  - Réduit le nombre de branchements à considérer.
  - Cependant, peut être source de nouveaux cycles de réécriture, et les branchements critiques sont plus durs à lister, puisqu'ils correspondent à des applications de relations orientées sur deux diagrammes égaux à isotopie près.



- Trois principaux paradigmes de réécriture modulo :
  - Réécriture avec les relations de  $R$ , et confluence modulo  $E$ , **Huet '80**.



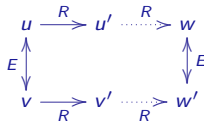
# Réécriture modulo isotopie

- **Difficulté 2** : Certaines relations sont déduites d'autres relations par une transformation par isotopie.
  - Pour éviter d'orienter trop de relations, on réécrit **modulo isotopie**.
  - On scinde les règles en deux parties: un ensemble  $E$  d'équations non orientées et un ensemble  $R$  de relations orientées.
  - Facilite l'analyse de la confluence de certains branchements.
  - Réduit le nombre de branchements à considérer.
  - Cependant, peut être source de nouveaux cycles de réécriture, et les branchements critiques sont plus durs à lister, puisqu'ils correspondent à des applications de relations orientées sur deux diagrammes égaux à isotopie près.

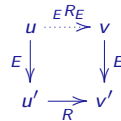


- Trois principaux paradigmes de réécriture modulo :

- Réécriture avec les relations de  $R$ , et confluence modulo  $E$ , **Huet '80**.



- Réécriture avec  $R$  sur des  $E$ -classes d'équivalence :

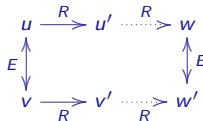


- **Difficulté 2** : Certaines relations sont déduites d'autres relations par une transformation par isotopie.
  - Pour éviter d'orienter trop de relations, on réécrit **modulo isotopie**.
  - On scinde les règles en deux parties: un ensemble  $E$  d'équations non orientées et un ensemble  $R$  de relations orientées.
  - Facilite l'analyse de la confluence de certains branchements.
  - Réduit le nombre de branchements à considérer.
  - Cependant, peut être source de nouveaux cycles de réécriture, et les branchements critiques sont plus durs à lister, puisqu'ils correspondent à des applications de relations orientées sur deux diagrammes égaux à isotopie près.

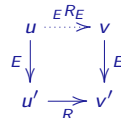


- Trois principaux paradigmes de réécriture modulo :

- Réécriture avec les relations de  $R$ , et confluence modulo  $E$ , **Huet '80**.



- Réécriture avec  $R$  sur des  $E$ -classes d'équivalence :



- **Système de réécriture modulo** :  $(R, E, S)$  tel que  $R \subseteq S \subseteq {}_E R_E$ , [**Jouannaud-Kirchner '84**].

## (3, 2)-polygraphes linéaires modulo

---

- ▶ On introduit un cadre polygraphique adapté à la réécriture modulo dans des 2-categories linéaires.

## $(3, 2)$ -polygraphes linéaires modulo

---

- ▶ On introduit un cadre polygraphique adapté à la réécriture modulo dans des 2-categories linéaires.
- ▶ Un  $(3, 2)$ -polygraphe linéaire modulo est un triplet  $(R, E, S)$  composé de

## $(3, 2)$ -polygraphes linéaires modulo

---

- ▶ On introduit un cadre polygraphique adapté à la réécriture modulo dans des 2-categories linéaires.
- ▶ Un  $(3, 2)$ -polygraphe linéaire modulo est un triplet  $(R, E, S)$  composé de
  - ▶ un  $(3, 2)$ -polygraphe linéaire  $R$ ,

## (3, 2)-polygraphes linéaires modulo

---

- ▶ On introduit un cadre polygraphique adapté à la réécriture modulo dans des 2-categories linéaires.
- ▶ Un (3, 2)-polygraphe linéaire modulo est un triplet  $(R, E, S)$  composé de
  - ▶ un (3, 2)-polygraphe linéaire  $R$ ,
  - ▶ un (3, 2)-polygraphe linéaire  $E$  tel que  $E_0 = R_0$ ,  $E_1 = R_1$  et  $E_2 \subseteq R_2$ ,

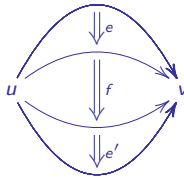
## (3, 2)-polygraphes linéaires modulo

---

- ▶ On introduit un cadre polygraphique adapté à la réécriture modulo dans des 2-categories linéaires.
- ▶ Un (3, 2)-polygraphe linéaire modulo est un triplet  $(R, E, S)$  composé de
  - ▶ un (3, 2)-polygraphe linéaire  $R$ ,
  - ▶ un (3, 2)-polygraphe linéaire  $E$  tel que  $E_0 = R_0$ ,  $E_1 = R_1$  et  $E_2 \subseteq R_2$ ,
  - ▶  $S$  est une extension cellulaire de  $R_2^\ell$  telle que  $R \subseteq S \subseteq {}_E R_E$ , où l'extension cellulaire  ${}_E R_E$  est donnée par les triplets  $(e, f, e') \in E^\ell \times R^{\ell(1)} \times E^\ell$  comme suit :

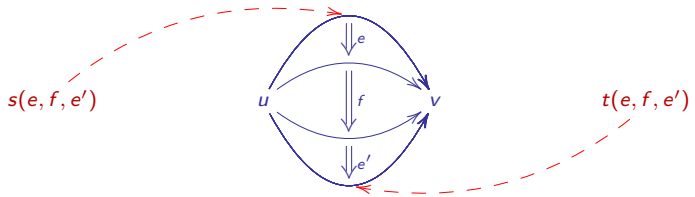
## (3, 2)-polygraphes linéaires modulo

- ▶ On introduit un cadre polygraphique adapté à la réécriture modulo dans des 2-categories linéaires.
- ▶ Un (3, 2)-polygraphe linéaire modulo est un triplet  $(R, E, S)$  composé de
  - ▶ un (3, 2)-polygraphe linéaire  $R$ ,
  - ▶ un (3, 2)-polygraphe linéaire  $E$  tel que  $E_0 = R_0$ ,  $E_1 = R_1$  et  $E_2 \subseteq R_2$ ,
  - ▶  $S$  est une extension cellulaire de  $R_2^\ell$  telle que  $R \subseteq S \subseteq {}_E R E$ , où l'extension cellulaire  ${}_E R E$  est donnée par les triplets  $(e, f, e') \in E^\ell \times R^{\ell(1)} \times E^\ell$  comme suit :



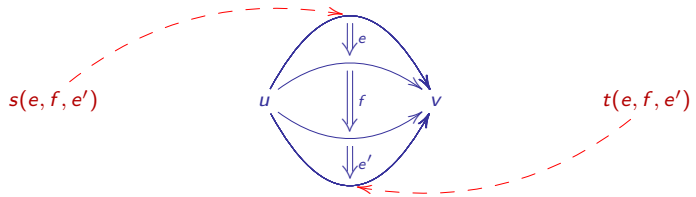
## (3, 2)-polygraphes linéaires modulo

- ▶ On introduit un cadre polygraphique adapté à la réécriture modulo dans des 2-categories linéaires.
- ▶ Un (3, 2)-polygraphe linéaire modulo est un triplet  $(R, E, S)$  composé de
  - ▶ un (3, 2)-polygraphe linéaire  $R$ ,
  - ▶ un (3, 2)-polygraphe linéaire  $E$  tel que  $E_0 = R_0$ ,  $E_1 = R_1$  et  $E_2 \subseteq R_2$ ,
  - ▶  $S$  est une extension cellulaire de  $R_2^\ell$  telle que  $R \subseteq S \subseteq {}_E R E$ , où l'extension cellulaire  ${}_E R E$  est donnée par les triplets  $(e, f, e') \in E^\ell \times R^{\ell(1)} \times E^\ell$  comme suit :



## (3, 2)-polygraphes linéaires modulo

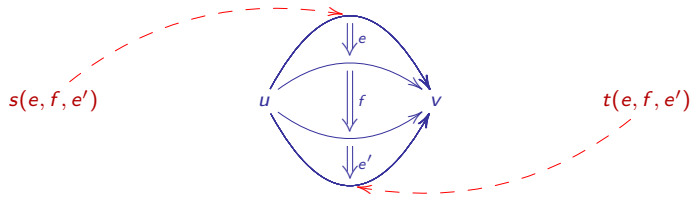
- ▶ On introduit un cadre polygraphique adapté à la réécriture modulo dans des 2-categories linéaires.
- ▶ Un (3, 2)-polygraphe linéaire modulo est un triplet  $(R, E, S)$  composé de
  - ▶ un (3, 2)-polygraphe linéaire  $R$ ,
  - ▶ un (3, 2)-polygraphe linéaire  $E$  tel que  $E_0 = R_0$ ,  $E_1 = R_1$  et  $E_2 \subseteq R_2$ ,
  - ▶  $S$  est une extension cellulaire de  $R_2^\ell$  telle que  $R \subseteq S \subseteq {}_E R E$ , où l'extension cellulaire  ${}_E R E$  est donnée par les triplets  $(e, f, e') \in E^\ell \times R^{\ell(1)} \times E^\ell$  comme suit :



- ▶  $f$  est une étape de réécriture de  $R$ ,

## (3, 2)-polygraphes linéaires modulo

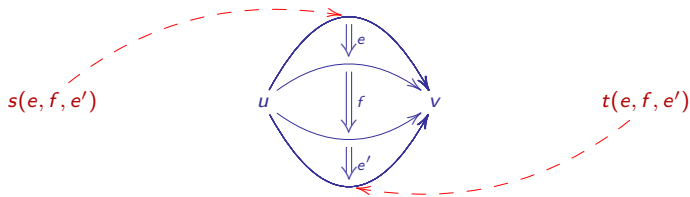
- ▶ On introduit un cadre polygraphique adapté à la réécriture modulo dans des 2-categories linéaires.
- ▶ Un (3, 2)-polygraphe linéaire modulo est un triplet  $(R, E, S)$  composé de
  - ▶ un (3, 2)-polygraphe linéaire  $R$ ,
  - ▶ un (3, 2)-polygraphe linéaire  $E$  tel que  $E_0 = R_0$ ,  $E_1 = R_1$  et  $E_2 \subseteq R_2$ ,
  - ▶  $S$  est une extension cellulaire de  $R_2^\ell$  telle que  $R \subseteq S \subseteq {}_E R E$ , où l'extension cellulaire  ${}_E R E$  est donnée par les triplets  $(e, f, e') \in E^\ell \times R^{\ell(1)} \times E^\ell$  comme suit :



- ▶  $f$  est une étape de réécriture de  $R$ ,
- ▶  $e$  et  $e'$  sont des  $E$ -congruences.

## (3, 2)-polygraphes linéaires modulo

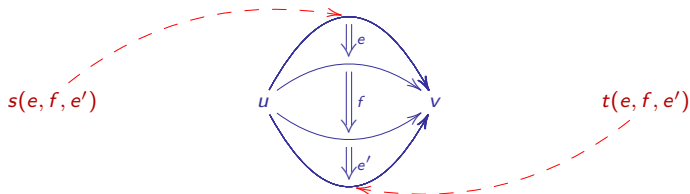
- ▶ On introduit un cadre polygraphique adapté à la réécriture modulo dans des 2-catégories linéaires.
- ▶ Un **(3, 2)-polygraphe linéaire modulo** est un triplet  $(R, E, S)$  composé de
  - ▶ un (3, 2)-polygraphe linéaire  $R$ ,
  - ▶ un (3, 2)-polygraphe linéaire  $E$  tel que  $E_0 = R_0$ ,  $E_1 = R_1$  et  $E_2 \subseteq R_2$ ,
  - ▶  $S$  est une extension cellulaire de  $R_2^\ell$  telle que  $R \subseteq S \subseteq {}_E R E$ , où l'extension cellulaire  ${}_E R E$  est donnée par les triplets  $(e, f, e') \in E^\ell \times R^{\ell(1)} \times E^\ell$  comme suit :



- ▶  $f$  est une étape de réécriture de  $R$ ,
  - ▶  $e$  et  $e'$  sont des  $E$ -congruences.
- ▶ Un **branchement modulo  $E$**  de  $S$  est un triplet  $(f, e, g)$  où  $f$  et  $g$  sont  $S$ -chemins de réécriture et  $e$  est une  $E$ -congruence, tel que :

## (3, 2)-polygraphes linéaires modulo

- ▶ On introduit un cadre polygraphique adapté à la réécriture modulo dans des 2-categories linéaires.
- ▶ Un **(3, 2)-polygraphe linéaire modulo** est un triplet  $(R, E, S)$  composé de
  - ▶ un (3, 2)-polygraphe linéaire  $R$ ,
  - ▶ un (3, 2)-polygraphe linéaire  $E$  tel que  $E_0 = R_0$ ,  $E_1 = R_1$  et  $E_2 \subseteq R_2$ ,
  - ▶  $S$  est une extension cellulaire de  $R_2^\ell$  telle que  $R \subseteq S \subseteq {}_E R E$ , où l'extension cellulaire  ${}_E R E$  est donnée par les triplets  $(e, f, e') \in E^\ell \times R^{\ell(1)} \times E^\ell$  comme suit :



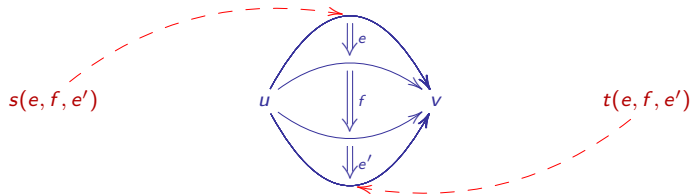
- ▶  $f$  est une étape de réécriture de  $R$ ,
- ▶  $e$  et  $e'$  sont des  $E$ -congruences.
- ▶ Un **branchement modulo  $E$**  de  $S$  est un triplet  $(f, e, g)$  où  $f$  et  $g$  sont  $S$ -chemins de réécriture et  $e$  est une  $E$ -congruence, tel que :

$$\begin{array}{ccc}
 u & \xrightarrow{f} & u' \\
 e \downarrow & & \\
 v & \xrightarrow{g} & v'
 \end{array}$$

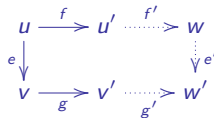
- ▶ Un tel branchement est **local** si  $f$  est une  $S$ -étape de réécriture, et  $g, e$  satisfont  $\ell(g) + \ell(e) = 1$ .

## (3, 2)-polygraphes linéaires modulo

- ▶ On introduit un cadre polygraphique adapté à la réécriture modulo dans des 2-categories linéaires.
- ▶ Un **(3, 2)-polygraphe linéaire modulo** est un triplet  $(R, E, S)$  composé de
  - ▶ un (3, 2)-polygraphe linéaire  $R$ ,
  - ▶ un (3, 2)-polygraphe linéaire  $E$  tel que  $E_0 = R_0$ ,  $E_1 = R_1$  et  $E_2 \subseteq R_2$ ,
  - ▶  $S$  est une extension cellulaire de  $R_2^\ell$  telle que  $R \subseteq S \subseteq {}_E R E$ , où l'extension cellulaire  ${}_E R E$  est donnée par les triplets  $(e, f, e') \in E^\ell \times R^{\ell(1)} \times E^\ell$  comme suit :



- ▶  $f$  est une étape de réécriture de  $R$ ,
- ▶  $e$  et  $e'$  sont des  $E$ -congruences.
- ▶ Un **branchement modulo**  $E$  de  $S$  est un triplet  $(f, e, g)$  où  $f$  et  $g$  sont  $S$ -chemins de réécriture et  $e$  est une  $E$ -congruence, tel que :



- ▶ Un tel branchement est **local** si  $f$  est une  $S$ -étape de réécriture, et  $g, e$  satisfont  $\ell(g) + \ell(e) = 1$ .
- ▶ Il est **confluent modulo**  $E$  si il existe des  $S$ -chemins de réécriture  $f', g'$ , et une  $E$ -congruence comme ci-dessus.

- **Théorème (Lemme des branchements critiques linéaire modulo) [D. '19]** : Si  ${}_E R_E$  termine,  $S$  est localement confluent modulo  $E$  ssi les branchements critiques de la forme

$$\begin{array}{ccccc}
 u & \xrightarrow{S^*(1)} & v & \cdots \xrightarrow{S^*} & v' \\
 \parallel \downarrow & & & & \downarrow E^\top \\
 u & \xrightarrow{R^*(1)} & w & \cdots \xrightarrow{S^*} & w'
 \end{array}$$

$$\begin{array}{ccccc}
 u & \xrightarrow{S^*(1)} & v & \cdots \xrightarrow{S^*} & v' \\
 E^\top(1) \downarrow & & & & \downarrow E^\top \\
 u' & \cdots \xrightarrow{S^*} & & & w
 \end{array}$$

sont confluents modulo  $E$ .

- **Théorème (Lemme des branchements critiques linéaire modulo) [D. '19]** : Si  ${}_E R_E$  termine,  $S$  est localement confluent modulo  $E$  ssi les branchements critiques de la forme

$$\begin{array}{ccccc}
 u & \xrightarrow{S^{*(1)}} & v & \cdots \xrightarrow{S^*} & v' \\
 \parallel \downarrow & & & & \downarrow E^T \\
 u & \xrightarrow{R^{*(1)}} & w & \cdots \xrightarrow{S^*} & w'
 \end{array}$$

~~$$\begin{array}{ccccc}
 u & \xrightarrow{S^{*(1)}} & v & \cdots \xrightarrow{S^*} & v' \\
 E^T(1) \downarrow & & & & \downarrow E^T \\
 u' & \cdots \xrightarrow{S^*} & & & w
 \end{array}$$~~

${}_E R \subseteq S$

sont confluents modulo  $E$ .

- **Théorème (Lemme des branchements critiques linéaire modulo) [D. '19]** : Si  ${}_E R_E$  termine,  $S$  est localement confluent modulo  $E$  ssi les branchements critiques de la forme

$$\begin{array}{ccccc}
 u & \xrightarrow{S^{*(1)}} & v & \cdots \xrightarrow{S^*} & v' \\
 \parallel \downarrow & & & & \downarrow E^T \\
 u & \xrightarrow{R^{*(1)}} & w & \cdots \xrightarrow{S^*} & w'
 \end{array}$$

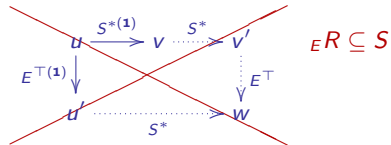
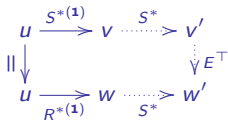
~~$$\begin{array}{ccccc}
 u & \xrightarrow{S^{*(1)}} & v & \cdots \xrightarrow{S^*} & v' \\
 E^{T(1)} \downarrow & & & & \downarrow E^T \\
 u' & \cdots \xrightarrow{S^*} & & & w
 \end{array}$$~~

${}_E R \subseteq S$

sont confluents modulo  $E$ .

- Soit  $(R, E, S)$  un  $(3, 2)$ -polygraphe linéaire modulo, et  $\mathcal{C}$  la 2-catégorie linéaire présentée par  $R \sqcup E$ .

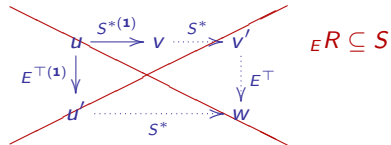
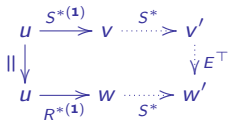
- **Théorème (Lemme des branchements critiques linéaire modulo)** [D. '19] : Si  ${}_E R_E$  termine,  $S$  est localement confluent modulo  $E$  ssi les branchements critiques de la forme



sont confluents modulo  $E$ .

- Soit  $(R, E, S)$  un  $(3, 2)$ -polygraphe linéaire modulo, et  $\mathcal{C}$  la 2-catégorie linéaire présentée par  $R \sqcup E$ .
- Supposons que :
- $E$  est convergent,
  - $S$  est **terminant**,
  - $S$  est confluent modulo  $E$ .

- ▶ **Théorème (Lemme des branchements critiques linéaire modulo) [D. '19]** : Si  ${}_E R_E$  termine,  $S$  est localement confluent modulo  $E$  ssi les branchements critiques de la forme



sont confluents modulo  $E$ .

- ▶ Soit  $(R, E, S)$  un  $(3, 2)$ -polygraphe linéaire modulo, et  $\mathcal{C}$  la 2-catégorie linéaire présentée par  $R \sqcup E$ .
- ▶ Supposons que :
  - ▶  $E$  est convergent,
  - ▶  $S$  est **terminant**,
  - ▶  $S$  est confluent modulo  $E$ .
- ▶ Considérons une 2-cellule  $u \in \mathcal{C}_2(p, q)$ ,

- **Théorème (Lemme des branchements critiques linéaire modulo)** [D. '19] : Si  ${}_E R_E$  termine,  $S$  est localement confluent modulo  $E$  ssi les branchements critiques de la forme

$$\begin{array}{ccccc}
 u & \xrightarrow{S^{*(1)}} & v & \xrightarrow{S^*} & v' \\
 \parallel \downarrow & & & & \downarrow E^T \\
 u & \xrightarrow{R^{*(1)}} & w & \xrightarrow{S^*} & w'
 \end{array}$$

~~$$\begin{array}{ccccc}
 u & \xrightarrow{S^{*(1)}} & v & \xrightarrow{S^*} & v' \\
 E^T(1) \downarrow & & & & \downarrow E^T \\
 u' & \xrightarrow{S^*} & & & w
 \end{array}$$~~

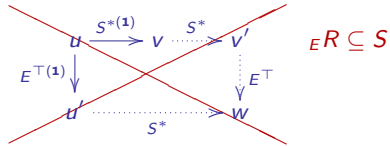
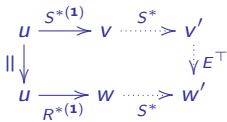
${}_E R \subseteq S$

sont confluents modulo  $E$ .

- Soit  $(R, E, S)$  un  $(3, 2)$ -polygraphe linéaire modulo, et  $\mathcal{C}$  la 2-catégorie linéaire présentée par  $R \sqcup E$ .
- Supposons que :
- $E$  est convergent,
  - $S$  est **terminant**,
  - $S$  est confluent modulo  $E$ .
- Considérons une 2-cellule  $u \in \mathcal{C}_2(p, q)$ ,

$$u \xRightarrow{S^*} \sum \hat{u}_i,$$

- **Théorème (Lemme des branchements critiques linéaire modulo)** [D. '19] : Si  ${}_E R_E$  termine,  $S$  est localement confluent modulo  $E$  ssi les branchements critiques de la forme



sont confluents modulo  $E$ .

- Soit  $(R, E, S)$  un  $(3, 2)$ -polygraphe linéaire modulo, et  $\mathcal{C}$  la 2-catégorie linéaire présentée par  $R \sqcup E$ .

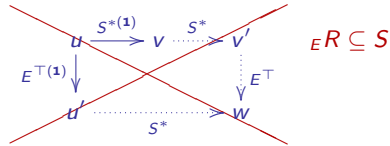
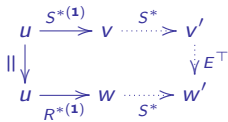
- Supposons que :

- $E$  est convergent,
- $S$  est **terminant**,
- $S$  est confluent modulo  $E$ .

- Considérons une 2-cellule  $u \in \mathcal{C}_2(p, q)$ ,

$$u \xRightarrow{S^*} \sum \hat{u}_i, \quad \hat{u}_i \xrightarrow{NF(E)} \sum v_{i,k}.$$

- ▶ **Théorème (Lemme des branchements critiques linéaire modulo) [D. '19]** : Si  ${}_E R_E$  termine,  $S$  est localement confluent modulo  $E$  ssi les branchements critiques de la forme



sont confluents modulo  $E$ .

- ▶ Soit  $(R, E, S)$  un  $(3, 2)$ -polygraphe linéaire modulo, et  $\mathcal{C}$  la 2-catégorie linéaire présentée par  $R \sqcup E$ .

▶ Supposons que :

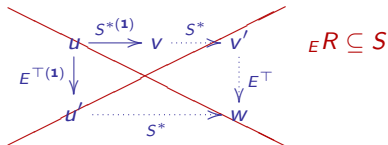
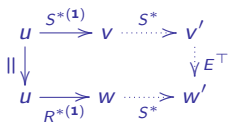
- ▶  $E$  est convergent,
- ▶  $S$  est **terminant**,
- ▶  $S$  est confluent modulo  $E$ .

▶ Considérons une 2-cellule  $u \in \mathcal{C}_2(p, q)$ ,

$$u \stackrel{S^*}{\cong} \sum \hat{u}_i, \quad \hat{u}_i \stackrel{NF(E)}{\rightsquigarrow} \sum v_{i,k}.$$

- ▶ **Théorème [D. '19]** : L'ensemble  $\{v_{i,k} \text{ thus defined} \mid u \in \mathcal{C}_2(p, q)\}$  est une base linéaire de  $\mathcal{C}_2(p, q)$ .

- ▶ **Théorème (Lemme des branchements critiques linéaire modulo) [D. '19]** : Si  ${}_E R_E$  termine,  $S$  est localement confluent modulo  $E$  ssi les branchements critiques de la forme



sont confluents modulo  $E$ .

- ▶ Soit  $(R, E, S)$  un  $(3, 2)$ -polygraphe linéaire modulo, et  $\mathcal{C}$  la 2-catégorie linéaire présentée par  $R \sqcup E$ .

▶ Supposons que :

- ▶  $E$  est convergent,
- ▶  $S$  est **terminant**,
- ▶  $S$  est confluent modulo  $E$ .

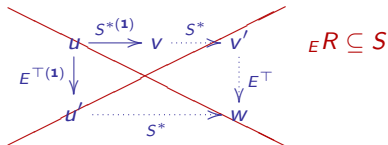
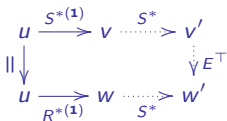
- ▶ Considérons une 2-cellule  $u \in \mathcal{C}_2(p, q)$ ,

$$u \stackrel{S^*}{\Rightarrow} \sum \hat{u}_i, \quad \hat{u}_i \stackrel{NF(E)}{\rightsquigarrow} \sum v_{i,k}.$$

- ▶ **Théorème [D. '19]** : L'ensemble  $\{v_{i,k} \text{ thus defined} \mid u \in \mathcal{C}_2(p, q)\}$  est une base linéaire de  $\mathcal{C}_2(p, q)$ .

- ▶ Ce résultat s'étend au cas où  $S$  est **quasi-terminant**.

- ▶ **Théorème (Lemme des branchements critiques linéaire modulo) [D. '19]** : Si  ${}_E R_E$  termine,  $S$  est localement confluent modulo  $E$  ssi les branchements critiques de la forme



sont confluents modulo  $E$ .

- ▶ Soit  $(R, E, S)$  un  $(3, 2)$ -polygraphe linéaire modulo, et  $\mathcal{C}$  la 2-catégorie linéaire présentée par  $R \sqcup E$ .

▶ Supposons que :

- ▶  $E$  est convergent,
- ▶  $S$  est **terminant**,
- ▶  $S$  est confluent modulo  $E$ .

- ▶ Considérons une 2-cellule  $u \in \mathcal{C}_2(p, q)$ ,

$$u \xRightarrow{S^*} \sum \hat{u}_i, \quad \hat{u}_i \xrightarrow{NF(E)} \sum v_{i,k}.$$

- ▶ **Théorème [D. '19]** : L'ensemble  $\{v_{i,k} \text{ thus defined} \mid u \in \mathcal{C}_2(p, q)\}$  est une base linéaire de  $\mathcal{C}_2(p, q)$ .

- ▶ Ce résultat s'étend au cas où  $S$  est **quasi-terminant**.

- ▶ Réduire  $u$  en  $\sum \tilde{u}_i$ , où  $\tilde{u}_i$  est un monôme en **quasi forme normale** fixé, i.e. pour toute 3-cellule  $v \Rightarrow \tilde{u}_i$ , il existe une 3-cellule  $\tilde{u}_i \Rightarrow v$ .

## Exemple : la 2-catégorie $\mathcal{U}(\mathfrak{sl}_2)$

---

- ▶ Soit  $\mathcal{U}(\mathfrak{sl}_2)$  la 2-catégorie linéaire définie par :

## Exemple : la 2-catégorie $\mathcal{U}(\mathfrak{sl}_2)$

► Soit  $\mathcal{U}(\mathfrak{sl}_2)$  la 2-catégorie linéaire définie par :

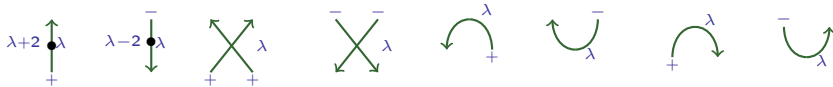
►  $\mathcal{U}(\mathfrak{sl}_2)_0 = X(\mathfrak{sl}_2) = \mathbb{Z}$  le réseau des poids de  $\mathfrak{sl}_2$ ,  $\mathcal{U}(\mathfrak{sl}_2)_1 = \{\underline{\varepsilon} = (\varepsilon_1, \dots, \varepsilon_{\ell(\varepsilon)}) \text{ avec } \varepsilon_i \in \{-, +\}\}$ .

## Exemple : la 2-catégorie $\mathcal{U}(\mathfrak{sl}_2)$

► Soit  $\mathcal{U}(\mathfrak{sl}_2)$  la 2-catégorie linéaire définie par :

►  $\mathcal{U}(\mathfrak{sl}_2)_0 = X(\mathfrak{sl}_2) = \mathbb{Z}$  le réseau des poids de  $\mathfrak{sl}_2$ ,  $\mathcal{U}(\mathfrak{sl}_2)_1 = \{\varepsilon = (\varepsilon_1, \dots, \varepsilon_{\ell(\varepsilon)}) \text{ avec } \varepsilon_i \in \{-, +\}\}$ .

►  $\mathcal{U}(\mathfrak{sl}_2)_2$  contient les 2-cellules génératrices suivantes :

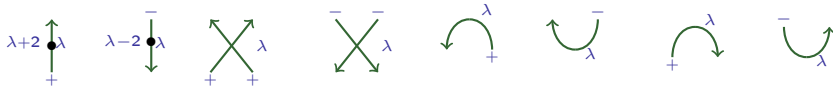


## Exemple : la 2-catégorie $\mathcal{U}(\mathfrak{sl}_2)$

► Soit  $\mathcal{U}(\mathfrak{sl}_2)$  la 2-catégorie linéaire définie par :

►  $\mathcal{U}(\mathfrak{sl}_2)_0 = X(\mathfrak{sl}_2) = \mathbb{Z}$  le réseau des poids de  $\mathfrak{sl}_2$ ,  $\mathcal{U}(\mathfrak{sl}_2)_1 = \{\varepsilon = (\varepsilon_1, \dots, \varepsilon_{\ell(\varepsilon)}) \text{ avec } \varepsilon_i \in \{-, +\}\}$ .

►  $\mathcal{U}(\mathfrak{sl}_2)_2$  contient les 2-cellules génératrices suivantes :



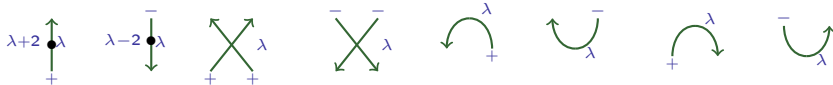
► soumises aux relations :

## Exemple : la 2-catégorie $\mathcal{U}(\mathfrak{sl}_2)$

► Soit  $\mathcal{U}(\mathfrak{sl}_2)$  la 2-catégorie linéaire définie par :

►  $\mathcal{U}(\mathfrak{sl}_2)_0 = X(\mathfrak{sl}_2) = \mathbb{Z}$  le réseau des poids de  $\mathfrak{sl}_2$ ,  $\mathcal{U}(\mathfrak{sl}_2)_1 = \{\underline{\varepsilon} = (\varepsilon_1, \dots, \varepsilon_{\ell(\varepsilon)}) \text{ avec } \varepsilon_i \in \{-, +\}\}$ .

►  $\mathcal{U}(\mathfrak{sl}_2)_2$  contient les 2-cellules génératrices suivantes :



► soumises aux relations :

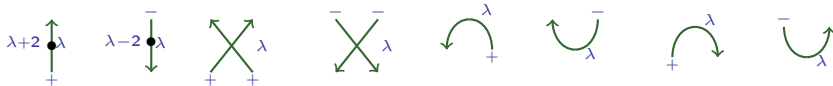
► relations des algèbres KLR pour les diagrammes avec des brins orientés vers le haut,

## Exemple : la 2-catégorie $\mathcal{U}(\mathfrak{sl}_2)$

► Soit  $\mathcal{U}(\mathfrak{sl}_2)$  la 2-catégorie linéaire définie par :

►  $\mathcal{U}(\mathfrak{sl}_2)_0 = X(\mathfrak{sl}_2) = \mathbb{Z}$  le réseau des poids de  $\mathfrak{sl}_2$ ,  $\mathcal{U}(\mathfrak{sl}_2)_1 = \{\xi = (\varepsilon_1, \dots, \varepsilon_{\ell(\xi)}) \text{ avec } \varepsilon_i \in \{-, +\}\}$ .

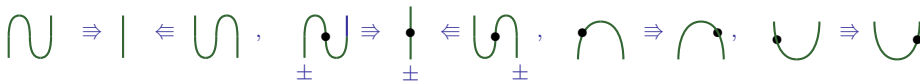
►  $\mathcal{U}(\mathfrak{sl}_2)_2$  contient les 2-cellules génératrices suivantes :



► soumises aux relations :

► relations des algèbres KLR pour les diagrammes avec des brins orientés vers le haut,

► axiômes pivotaux d'isotopie :



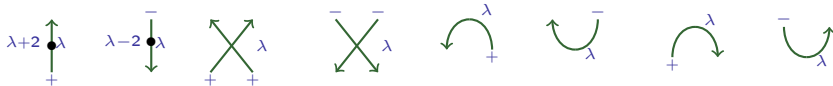
► Relation de cyclicité pour le croisement haut.

## Exemple : la 2-catégorie $\mathcal{U}(\mathfrak{sl}_2)$

► Soit  $\mathcal{U}(\mathfrak{sl}_2)$  la 2-catégorie linéaire définie par :

►  $\mathcal{U}(\mathfrak{sl}_2)_0 = X(\mathfrak{sl}_2) = \mathbb{Z}$  le réseau des poids de  $\mathfrak{sl}_2$ ,  $\mathcal{U}(\mathfrak{sl}_2)_1 = \{\underline{\varepsilon} = (\varepsilon_1, \dots, \varepsilon_{\ell(\underline{\varepsilon})}) \text{ avec } \varepsilon_i \in \{-, +\}\}$ .

►  $\mathcal{U}(\mathfrak{sl}_2)_2$  contient les 2-cellules génératrices suivantes :



► soumises aux relations :

► relations des algèbres KLR pour les diagrammes avec des brins orientés vers le haut,

► axiômes pivotaux d'isotopie :



► Relation de cyclicité pour le croisement haut.

► Relations de bulles :

$$n \begin{array}{c} \circlearrowleft \\ \lambda \end{array} \Rightarrow \begin{cases} 1_{1_\lambda} & \text{if } n = \lambda - 1 \\ 0 & \text{si } n < \lambda - 1 \end{cases} ; \quad \lambda \begin{array}{c} \circlearrowright \\ n \end{array} \Rightarrow \begin{cases} 1_{1_\lambda} & \text{if } n = -\lambda - 1 \\ 0 & \text{si } n < -\lambda - 1 \end{cases}$$

$$\lambda - 1 + \alpha \begin{array}{c} \circlearrowleft \\ \lambda \end{array} \Rightarrow - \sum_{f=1}^{\alpha} \lambda - 1 + \alpha - f \begin{array}{c} \circlearrowleft \\ \lambda \end{array} \begin{array}{c} \circlearrowright \\ \lambda - 1 + f \end{array} \text{ pour tout } \lambda \in \mathbb{Z} \text{ et } \alpha > 0 \text{ tel que } \lambda - 1 + \alpha \geq 0$$

► Relations 'Bubble slide' de la forme

$$\lambda + 1 + \alpha \begin{array}{c} \circlearrowleft \\ \lambda \end{array} \uparrow \Rightarrow \sum_{f=0}^{\alpha} (\alpha + 1 - f) \begin{array}{c} \uparrow \\ \alpha - f \end{array} \begin{array}{c} \circlearrowright \\ \lambda \end{array} \begin{array}{c} \lambda - 1 + f \\ \lambda \end{array}$$

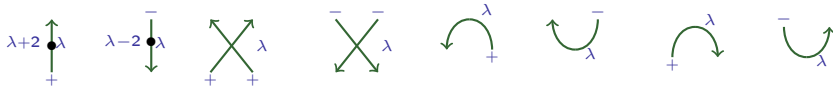
pour toute orientation de la bulle et du brin.

## Exemple : la 2-catégorie $\mathcal{U}(\mathfrak{sl}_2)$

► Soit  $\mathcal{U}(\mathfrak{sl}_2)$  la 2-catégorie linéaire définie par :

►  $\mathcal{U}(\mathfrak{sl}_2)_0 = X(\mathfrak{sl}_2) = \mathbb{Z}$  le réseau des poids de  $\mathfrak{sl}_2$ ,  $\mathcal{U}(\mathfrak{sl}_2)_1 = \{\underline{\varepsilon} = (\varepsilon_1, \dots, \varepsilon_{\ell(\varepsilon)}) \text{ avec } \varepsilon_i \in \{-, +\}\}$ .

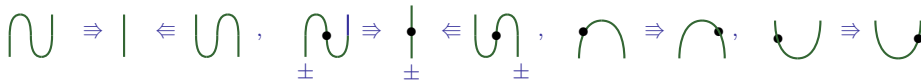
►  $\mathcal{U}(\mathfrak{sl}_2)_2$  contient les 2-cellules génératrices suivantes :



► soumises aux relations :

► relations des algèbres KLR pour les diagrammes avec des brins orientés vers le haut,

► axiômes pivotaux d'isotopie :



► Relation de cyclicité pour le croisement haut.

► Relations de bulles :

$$n \text{ bulle } \lambda \Rightarrow \begin{cases} 1_{1_\lambda} & \text{if } n = \lambda - 1 \\ 0 & \text{si } n < \lambda - 1 \end{cases} ; \quad \lambda \text{ bulle } \Rightarrow \begin{cases} 1_{1_\lambda} & \text{if } n = -\lambda - 1 \\ 0 & \text{si } n < -\lambda - 1 \end{cases}$$

$$\lambda - 1 + \alpha \text{ bulle } \lambda \Rightarrow - \sum_{f=1}^{\alpha} \lambda - 1 + \alpha - f \text{ bulle } \lambda \text{ } \alpha - f \text{ bulle } \lambda - 1 + f \text{ pour tout } \lambda \in \mathbb{Z} \text{ et } \alpha > 0 \text{ tel que } \lambda - 1 + \alpha \geq 0$$

► Relations 'Bubble slide' de la forme

$$\lambda + 1 + \alpha \text{ bulle } \lambda \Rightarrow \sum_{f=0}^{\alpha} (\alpha + 1 - f) \text{ bulle } \lambda \text{ } \alpha - f \text{ bulle } \lambda - 1 + f$$

pour toute orientation de la bulle et du brin.

► Autres relations: inversibilité des croisements gauche et droits, relations de  $\mathfrak{sl}_2$  quantiques et relations de Coxeter pour les autres orientations.

## Exemple : la 2-catégorie $\mathcal{U}(\mathfrak{sl}_2)$

---

- ▶ **Théorème [D. '19, D.-Ebert-Lauda '21]** : Il existe un scindage  $(R, E)$  de ce  $(3, 2)$ -polygraphe linéaire tel que :
  - ▶  $R$  est terminant sans les bubble slides et les relations de cyclicité pour les croisements.
  - ▶  $R$  et  ${}_E R$  sont quasi-terminants.
  - ▶  ${}_E R$  est confluent modulo  $E$ .

## Exemple : la 2-catégorie $\mathcal{U}(\mathfrak{sl}_2)$

---

- ▶ **Théorème [D. '19, D.-Ebert-Lauda '21]** : Il existe un scindage  $(R, E)$  de ce  $(3, 2)$ -polygraphe linéaire tel que :
  - ▶  $R$  est terminant sans les bubble slides et les relations de cyclicité pour les croisements.
  - ▶  $R$  et  ${}_E R$  sont quasi-terminants.
  - ▶  ${}_E R$  est confluent modulo  $E$ .
- ▶ **Esquisse de la preuve :**
  - ▶ Dérivations successives pour réduire l'ensemble des 3-cellules dont il faut prouver la terminaison.

## Exemple : la 2-catégorie $\mathcal{U}(s_2)$

---

- ▶ **Théorème [D. '19, D.-Ebert-Lauda '21]** : Il existe un scindage  $(R, E)$  de ce  $(3, 2)$ -polygraphe linéaire tel que :
  - ▶  $R$  est terminant sans les bubble slides et les relations de cyclicité pour les croisements.
  - ▶  $R$  et  ${}_E R$  sont quasi-terminants.
  - ▶  ${}_E R$  est confluent modulo  $E$ .
- ▶ **Esquisse de la preuve :**
  - ▶ Dérivations successives pour réduire l'ensemble des 3-cellules dont il faut prouver la terminaison.
  - ▶ Procédure pour réduire toute 2-cellule en une combinaison linéaire de 2-cellules sur les quelles on ne peut appliquer que des cycles de 'bubble slide' et des cycles d'isotopie.

## Exemple : la 2-catégorie $\mathcal{U}(s_2)$

---

- ▶ **Théorème [D. '19, D.-Ebert-Lauda '21]** : Il existe un scindage  $(R, E)$  de ce  $(3, 2)$ -polygraphe linéaire tel que :
  - ▶  $R$  est terminant sans les bubble slides et les relations de cyclicité pour les croisements.
  - ▶  $R$  et  ${}_E R$  sont quasi-terminants.
  - ▶  ${}_E R$  est confluent modulo  $E$ .
- ▶ **Esquisse de la preuve :**
  - ▶ Dérivations successives pour réduire l'ensemble des 3-cellules dont il faut prouver la terminaison.
  - ▶ Procédure pour réduire toute 2-cellule en une combinaison linéaire de 2-cellules sur les quelles on peut appliquer que des cycles de 'bubble slide' et des cycles d'isotopie.
  - ▶ Étude exhaustive de tous les branchements critiques modulo.

## Exemple : la 2-catégorie $\mathcal{U}(\mathfrak{sl}_2)$

- ▶ **Théorème [D. '19, D.-Ebert-Lauda '21]** : Il existe un scindage  $(R, E)$  de ce  $(3, 2)$ -polygraphe linéaire tel que :
  - ▶  $R$  est terminant sans les bubble slides et les relations de cyclicité pour les croisements.
  - ▶  $R$  et  ${}_E R$  sont quasi-terminants.
  - ▶  ${}_E R$  est confluent modulo  $E$ .
- ▶ **Esquisse de la preuve :**
  - ▶ Dérivations successives pour réduire l'ensemble des 3-cellules dont il faut prouver la terminaison.
  - ▶ Procédure pour réduire toute 2-cellule en une combinaison linéaire de 2-cellules sur les quelles on ne peut appliquer que des cycles de 'bubble slide' et des cycles d'isotopie.
  - ▶ Étude exhaustive de tous les branchements critiques modulo.
- ▶ **Corollaire** : Un ensemble de quasi-formes normales fixées avec source  $p$  et but  $q$  en forme normale relativement à  $E$  et contenant :
  - ▶ pas de boucles,
  - ▶ et nombre minimal de croisements, et les relations impliquent un choix préféré pour toute configuration de la relation de Coxeter,
  - ▶ des points placés en bas des brins orientés vers le haut, en haut des brins orientés vers le bas, et sur l'intervalle le plus à droite des arcs,
  - ▶ pas de bulle de degré négatif, et toutes les bulles dans la région la plus à droite du diagramme,forment une base linéaire de  $\mathcal{U}(\mathfrak{sl}_2)(p, q)$ .

Merci pour votre attention.